

چینه‌نگاری زیستی، ریزرخساره‌ها، محیط‌رسوبی و دیرینه - بوم‌شناختی سازند آسماری در جنوب باختری ایران

مژگان زارع^۱، محمد وحیدی‌نیا^{۲*} و محمدحسین محمودی قرائی^۳

^{۱، ۲ و ۳}- گروه زمین‌شناسی، دانشکده علوم پایه، دانشگاه فردوسی مشهد، مشهد

نویسنده مسئول: vahidinia@ferdowsi.um.ac.ir

دریافت: ۹۸/۳/۲۵ پذیرش: ۹۸/۶/۲۵

چکیده

این پژوهش به بررسی چینه‌نگاری زیستی، ریزرخساره‌ها، محیط‌رسوبی و دیرینه بوم‌شناختی سازند آسماری در رخمنون‌های ورزگ، اشگر و گرگدان در زون ایذه واقع در حوضه‌ی رسوی زاگرس در جنوب باختر ایران پرداخته است. در این پژوهش ۵۰۰ نمونه از سنگ‌آهک‌های آسماری به صورت سیستماتیک نمونه‌برداری شد. برایه ویژگی‌های بافتی، سنگ‌شناسی و فونایی ۸ رخساره با ۱۸ زیررخساره شناسایی شد که در بخش‌های متفاوت رمپ داخلی، رمپ میانی و رمپ بیرونی تهنشین شده‌اند. همچنین بر پایه پخش و پراکندگی فرامینیفرهای کفزی ۶ زون اباحتی شناسایی شده که شامل: زون اباحتی I به سن روپلین، زون اباحتی II به سن روپلین-شاتین، زون اباحتی III به سن شاتین، زون‌های اباحتی IV و V به سن آکی‌تائین و زون اباحتی VI به سن بوردیگالین می‌باشند. بر پایه زون‌های اباحتی موجود سن سازند آسماری در رخمنون ورزگ روپلین-بوردیگالین، اشگر شاتین-بوردیگالین و گرگدان روپلین-شاتین تا بوردیگالین تعیین شد. افزون بر این، در توالی مورد بررسی ۲ زیرخانواده از جلیک‌های قرمز (*Lithophylloideae (non-geniculate)*) و یک گونه حدواسط و تکاملی بین *geniculate* و *non-geniculate* (*Subfamily Corallinoideae*) از زیرخانواده *Corallinoideae*? شامل *Corallinoideae* شناسایی شد. دیرینه بوم‌شناختی سازند آسماری بر پایه اجزای اصلی سازند رسبات کربناته (فرامینیفرهای کفزی، جلیک‌های قرمز و مرجان‌ها)، در رخمنون‌های مورد بررسی از شوری نرمال تا زیاد، از دید مواد غذایی بوتروفی تا الیگوتروفی و با چیرگی شرایط الیگوتروفی تا مزوتروفی، شرایط نوری افوتیک تا یووفوتیک و از دید ژرف، از مناطق کم ژرف تا به نسبت ژرف شناسایی شد.

واژه‌های کلیدی: سازند آسماری، چینه‌نگاری زیستی، ریزرخساره، دیرینه بوم‌شناختی، فرامینیفرهای کفزی

پوشیده شده است (آقانباتی، ۱۳۸۵). از آنجایی که سازند آسماری نخستین سنگ مخزن کربناته شناخته شده در جهان و بزرگ‌ترین سنگ مخزن نفت در حوضه رسوی زاگرس است (مطیعی، ۱۳۷۲) پژوهش‌های زمین‌شناسی گسترده‌ای بر روی این سازند انجام گرفته است (توماس، ۱۹۵۰؛ جیمز و ایند، ۱۹۶۵؛ آدامز و بورژوا، ۱۹۶۷؛ اهرنبرگ و همکاران، ۲۰۰۷؛ وزیری‌مقدم و همکاران، ۲۰۱۰؛ ون‌بوخم و همکاران، ۲۰۱۰؛ الله‌کرم‌پور دیل، ۲۰۱۰). همچنین محیط‌رسوبی و چینه‌نگاری سکانسی آن توسط ون‌بوخم و همکاران (۲۰۱۰)، وزیری‌مقدم و همکاران (۲۰۱۰)، الله‌کرم‌پور دیل (۲۰۱۲) و دیرینه بوم‌شناختی آن توسط مصدق و همکاران (۲۰۱۸) و دیرینه بوم‌شناختی آن توسط مصدق و همکاران (۲۰۰۹) رحمانی و همکاران (۲۰۰۹)، ذبیحی زوارم و همکاران (۲۰۱۴)، طاهری و همکاران (۲۰۱۷)، زارع و همکاران (۲۰۹۴) و فرشی و همکاران (۱۳۹۶)

پیش‌گفتار

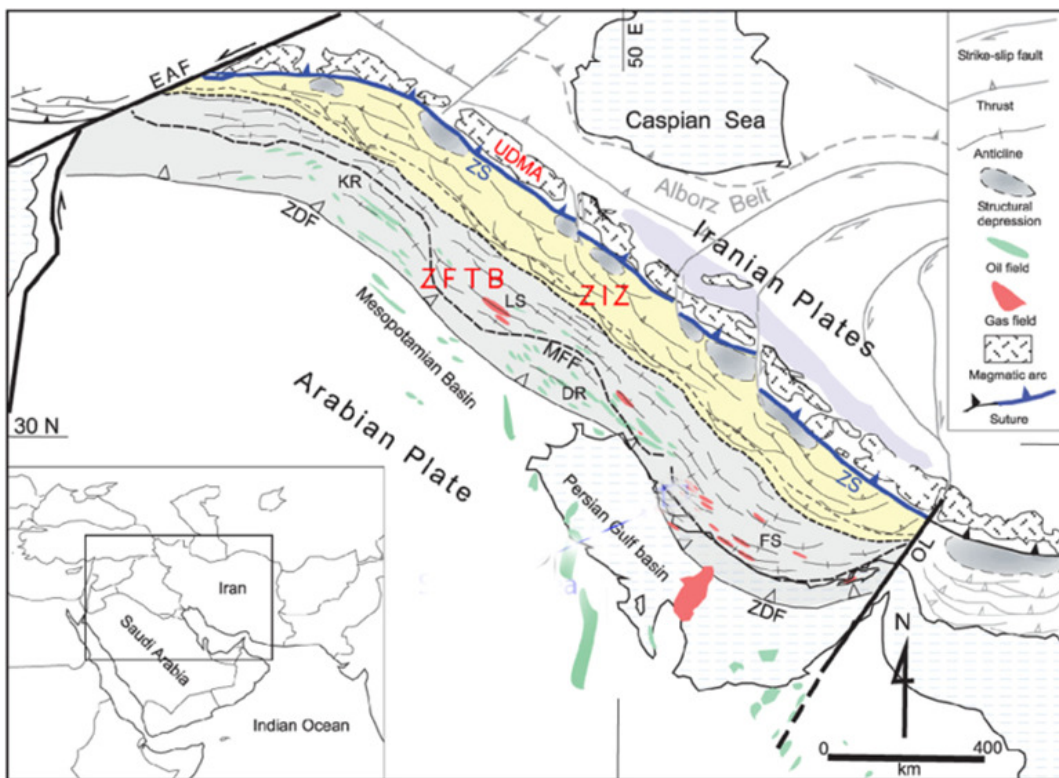
سازند آسماری به لحاظ سنگ‌شناسی به طور عمده از سنگ‌های آهکی و دولومیتی تشکیل شده است و نهشتله‌های مارنی، شیل، ماسه‌سنگ و تبخیری نیز در بخش‌هایی از آن دیده می‌شوند. این سازند در جنوب باختری لرستان و میدان‌های نفتی شمال فروافتادگی دزفول دربردارنده نهشتله‌های تبخیری بخش کلهر و در جنوب فروافتادگی دزفول دارای نهشتله‌های ماسه‌سنگ بخش اهواز است (آقانباتی، ۱۳۸۵). سنگ‌آهک‌های کم ژرف اسازند آسماری در بخش جنوب‌باختری حوضه زاگرس بر روی سازند پابده نهشتله شده، در حالی که در نواحی فارس و لرستان بر روی سازند های جهرم و شهریازان قرار گرفته است (آقانباتی، ۱۳۸۵). مرز بالایی آن در فارس داخلی با سازند رازک، در حالی که در فارس ساحلی، خوزستان و لرستان توسط سازند گچساران

توسط خط عمان محدود شده است (علوی، ۲۰۰۷؛ فرضی پور سائین و همکاران، ۲۰۰۹) (شکل ۱). حیدری (۲۰۰۸) بر این باور است که رسوب‌گذاری نهشته‌های فاتح‌وزئیک حوضه رسوی زاگرس به سه فاز قابل تقسیم است: ۱- پلاتفرم فارسی که از نوع اپی‌ریک و شامل هفت خردۀ قاره ایران مرکزی، سندج- سیرجان، لوت، ترکیه، تبت، افغانستان و صفحۀ عربی است. ۲- پلاتفرم عربی که طی پرمین پیشین این هفت خرد قاره در اثر تشکیل قاره سیمین و جدایش آن از پلاتفرم فارسی، از هم جدا شدند و اقیانوس نثوتیس را ایجاد کردند. از آن زمان به بعد زاگرس بخشی از پلاتفرم عربی محسوب می‌شود.

مورد بررسی قرار گرفته است. هدف از این پژوهش مقایسه ویژگی‌های چینه‌نگاری زیستی، ریزخسارهای دیرینه بوم‌شناختی سازند آسماری در رخمنون‌های وزگ، اشگر و گرگدان و دیگر نقاط حوضه زاگرس و تفسیر تغییرات این حوضه طی زمان الیگوسن- میوسن می‌باشد.

زمین‌شناسی زاگرس

رشته کوه‌های زاگرس حاصل برخورد پلیت عربی (واقع در جنوب خاوری نثوتیس) و خرد قاره ایران مرکزی است (علوی، ۲۰۰۷) است. کمریند چین‌خورده- فشاری زاگرس از شمال با ختر بوسیله گسل امتداد لغز چپ‌گرد خاور آناتولی در جنوب خاوری ترکیه و از جنوب خاور



شکل ۱. گسترش کمریند زاگرس، تقسیمات و مرازهای محدود کننده آن UDMA: مجموعه ماغمایی ارومیه- دختر، EAF: گسل خاوری آناتولی، ZDF: جبهه تغییر شکل زاگرس، ZTB: خط درز زاگرس، LS: زون راندگی زاگرس، ZIZ: زون روی هم چین‌خورده، ZFTB: زون رورانده- چین‌خورده زاگرس، OL: خط عمان (علوی، ۲۰۰۷).

باریک شده و منجر به ایجاد یک زون فروزانشی در حاشیه شمالی می‌گردد. بعد از آن حاشیه‌های زاگرس فعال شده و حوضه فورلند زاگرس ایجاد می‌گردد که سازند آسماری بخشی از آن می‌باشد (سپهر و کاسگرو، ۲۰۰۴؛ شرکتی و لتوزی، ۲۰۰۴). این فاز رسوب‌گذاری از

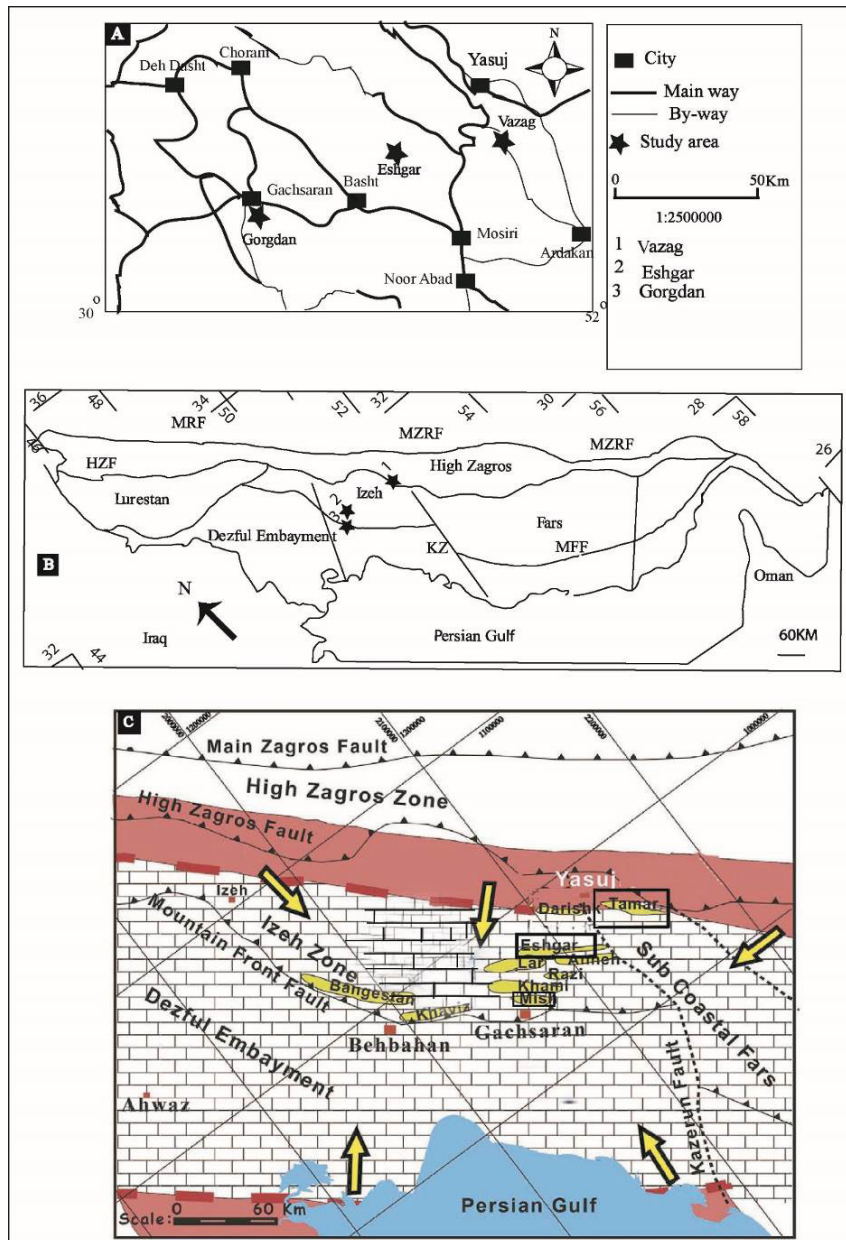
منطقه زاگرس در این دوره یک حاشیه غیرفعال و مکانی برای رسوب‌گذاری رسوبات نثوتیس بوده است. ۳- فاز حوضه فورلند زاگرس که با برخورد خرد قاره سندج- سیرجان با پلاتفرم عربی در کرتاسه پسین، فاز پلاتفرم عربی خاتمه می‌یابد و اقیانوس نثوتیس در این زمان

مشخص شده و نهشته‌های سنوزوئیک در آن رسوب در تاقدیس تامر ($30^{\circ}33'40''$ عرض شمالی و $51^{\circ}40'50''$ طول خاوری) با ۴۷۰ متر، اشگر در تاقدیس اشگر ($30^{\circ}25'40''$ عرض شمالی و $51^{\circ}21'40''$ طول خاوری) با ۳۳۰ متر و گرگدان در تاقدیس میش ($30^{\circ}21'40''$ عرض شمالی و $50^{\circ}53'40''$ طول خاوری) با ۴۶۰ متر ستبرای انتخاب (شکل ۲) و مورد نمونه‌برداری قرار گرفتند.

طریق ساختار و روند شمال‌باخته- جنوب‌خاوری آن می‌کنند. پلیت عربی نیز در طی کوهزایی زاگرس با خرد قاره ایران برخورد کرده و باعث بسته شدن نفوذتیس و تشکیل کمربند رورانده- چین‌خوردۀ زاگرس شده است.

روش پژوهش

برای انجام این پژوهش بعد از بررسی‌های میدانی ۳ رخمنون از سازند آسماری در زون ایده به نامهای وزگ



شکل ۲. نقشه راه‌ها و زمین‌شناسی منطقه مورد پژوهش. A: راه‌های دسترسی به رخمنون‌های مورد پژوهش (برگرفته از نقشه راه‌های ایران ۱۳۸۴). B: جایگاه زمین‌شناسی ساختاری حوضه زاگرس. C: حوضه اینترالوف آسماری. پیکان‌های زرد مشخص کننده پیشروی رسوبات الیگو- میوسن به سمت بخش‌های ژرف حوضه است. مستطیل سیاه جایگاه رخمنون‌های مورد پژوهش. نواحی زرد رنگ تاقدیس‌های منطقه (الله کرم پوردلیل ۲۰۱۸).

اجتماعات، جنس، اندازه و شکل پوسته فرامینیفرهای کفزی و دیگر فونا انجام گردید (فلوگل، ۲۰۰۴).

چینه‌نگاری زیستی

چینه‌نگاری زیستی و رخساره‌های رسوبی سازند آسماری توسط پژوهشگران زیادی مورد بررسی قرار گرفته است. برای نخستین بار چینه‌نگاری زیستی این سازند توسط وايند (۱۹۶۵) و سپس توسط (آدامز و بورژوا، ۱۹۶۷) مطالعه شد و ۳ زون انباشتی و ۲ زیر زون انباشتی برای این سازند مشخص گردید، ولی قادر به تفکیک اشکوبهای الیگوسن نبودند. اهرنبرگ و همکاران (۲۰۰۷) با استفاده از ایزوتوپ استراتسیم، ۵ حادثه چینه‌نگاری زیستی شناسایی کردند. بر پایه این اطلاعات لارسن و همکاران (۲۰۰۹) زون‌بندی‌های قبلی را اصلاح نمودند (جدول ۱).

چینه‌نگاری زیستی سازند آسماری در رخنمون‌های مورد پژوهش بر پایه (اهرنبرگ و همکاران، ۲۰۰۷)، الگوی چینه‌نگاری زیستی لارسن و همکاران (۲۰۰۹) و ون بوخم و همکاران (۲۰۱۰) انجام شده است.

در هر سه رخنمون شواهد میدانی، نبود خاک‌های قدیمه و لاتریتی، و پیوسته و تدریجی تبدیل شدن مارن‌های سازند پابده به آهک‌های سازند آسماری مشاهده شد. همچنین پیوسته بودن آهک‌های سازند آسماری در دو رخنمون اشگر و گرگدان زیر رسوبات تبخیری سازند گچساران و در رخنمون وزگ در زیر تخریبی‌های سازند رازک مشاهده شد. نمونه‌برداری با فاصله تقریبی ۳ متر به صورت عادی و در صورت تغییر رخساره با فواصل کمتر از ۳ متر انجام گردید. در مجموع حدود ۵۰۰ نمونه از هر سه رخنمون برداشت و در آزمایشگاه دانشگاه فردوسی مشهد از آن‌ها تعداد ۵۰۰ برش‌نازک تهیه گردید. مطالعه مقاطع نازک بر پایه بافت و خرددهای اسکلتی صورت گرفته و از رده‌بندی (دانه‌ام، ۱۹۶۲؛ امیری و کلوان، ۱۹۷۱) استفاده شده است چینه‌نگاری زیستی سازند آسماری در رخنمون‌های مورد مطالعه بر پایه اهرنبرگ و همکاران (۲۰۰۷)، لارسن و همکاران (۲۰۰۹) و ون بوخم و همکاران (۲۰۱۰) انجام شده است. پژوهش‌های دیرینه بوم‌شناختی برپایه پراکندگی

جدول ۱. چینه‌نگاری سازند آسماری (لارسن و همکاران، ۲۰۰۹).

| Age | Series | Stage | Biozone |
|-----|-----------|-------------|--|
| 20 | Miocene | Burdigalian | <i>Borelis melo curdica - Borelis melo melo</i> |
| | | Aquitanian | <i>Miogypsina - Elphidium sp.14</i> <i>Peneroplis farsensis</i> Indeterminate |
| 25 | Oligocene | Chattian | <i>Archaias asmaricus</i> <i>Archaias hensonii</i> <i>Miogypsinoides complanatus</i> |
| | | Rupelian | <i>Nummulites vascus-</i> <i>Nummulites fichteli</i> <i>Lepidocyclina - Operculina - Dirrypa</i> <i>Globigerina - Turborotalia cerrozulensis</i> <i>Hantkenina</i> |

با چینه‌نگاری زیستی رسوبات الیگو- میوسن حوضه‌ی اروپا (کاوزاک و پویگنانت، ۱۹۹۷) مقایسه شده است (جدول ۲).

در این پژوهش ۲۲ جنس و ۲۵ گونه شناسایی و شش زون زیستی ارائه شده است (شکل‌های ۴، ۳، ۵ و ۱۳). همچنین در این تحقیق چینه‌نگاری زیستی معرفی شده

جدول ۲. رده‌بندی چینه‌نگاری زیستی حوضه اروپا (کاوزاک و پویگنانت، ۱۹۹۷).

| Age | Biozone | No |
|-------------|--|-------|
| Burdigalian | <i>Borelis. melocurdica-Miogypsina</i> | SB25 |
| Aquitanian | <i>Austrotrillina howchini-Miogypsina-M. deharti</i> | SB24 |
| Chattian | <i>Miogypsinoides- Eulepidina</i> | SB23 |
| Chattian | <i>Nummulites vascus-N. fichteli- Eulepidina</i> | SB22B |
| Rupelian | <i>Eulepidina formosoides</i> | SB22A |
| Rupelian | <i>Nummulites vascus-N. fichteli</i> | SB21 |

زون انباشتی ۱ در رخمنون اشگر سن این زون انباشتی *blanckenhorni* به شاتین محدود می‌شود.

زون انباشتی ۲

این زون انباشتی در رخمنون‌های وزگ، اشگر و گرگدان به ترتیب به سمترا ۲۱۰ متر، ۶۳ متر و ۷۹ متر دیده شده است و شامل:

Meandropsina iranica, *Peneroplis evolutus*, *Archaias hensonii*, *A. kirkukensis*, *A. operculiniformis*, *Peneroplis thomasi*, *Austrotrillina asmariensis*, *Dendritina rangi*, *Amphistegina sp.*, *Miogypsinoides complanatus*, *Meandropsina anahensis*, *Miogypsinoides sp.*, *Elphidium sp.* and *miliolids*.

این زون انباشتی معادل *Archaias asmricus-Archaias hensonii-Miogypsinoides complanatus Assemblage* لارسن و همکاران (۲۰۰۹) و SBZ23 کاوزاک و پویگنانت (۱۹۹۷) به سن شاتین می‌باشد.

زون انباشتی ۳

این زون انباشتی تنها در رخمنون اشگر به سمترا ۵۴ متر دیده شده است و شامل:

Amphistegina sp., *miliolids*, *Neorotalia viennoti*, *Valvulinid sp.1*, *Miogypsinoides complanatus*, *Meandropsina iranica*, *Austrotrillina asmariensis*, *Elphidium sp.1*, *Dendritina rangi*, *Peneroplis thomasi*, *Peneroplis evolutus*, *Elphidium sp.14*, *Meandropsina anahensis* and *Peneroplis farsensis*.

این زون معادل *Miogypsinida-Elphidium sp.* لارسن و همکاران (۲۰۰۹) و زون SBZ24 کاوزاک و پویگنانت (۱۹۹۷) به سن انباشتی SBZ24 کاوزاک و پویگنانت (۱۹۹۷) به سن تانین می‌باشد.

این زون انباشتی تنها در رخمنون وزگ و از بازه ۰ تا ۲۰۱ متری دیده شد و شامل مجموعه همزیست زیر است:

Nummulites vascus, *N. fichteli*, *N. intermedius*, *Operculina complanata*, *Heterostegina sp.*, *Ditrupa sp.*, *miliolids*, *Amphistegina sp.*, *Neorotalia viennoti*, *Archaias operculiniformis*, *Austrotrillina paucialveolata*, *A. asmariensis*, *Borelis pygmae*, and *Eulepidina sp.*

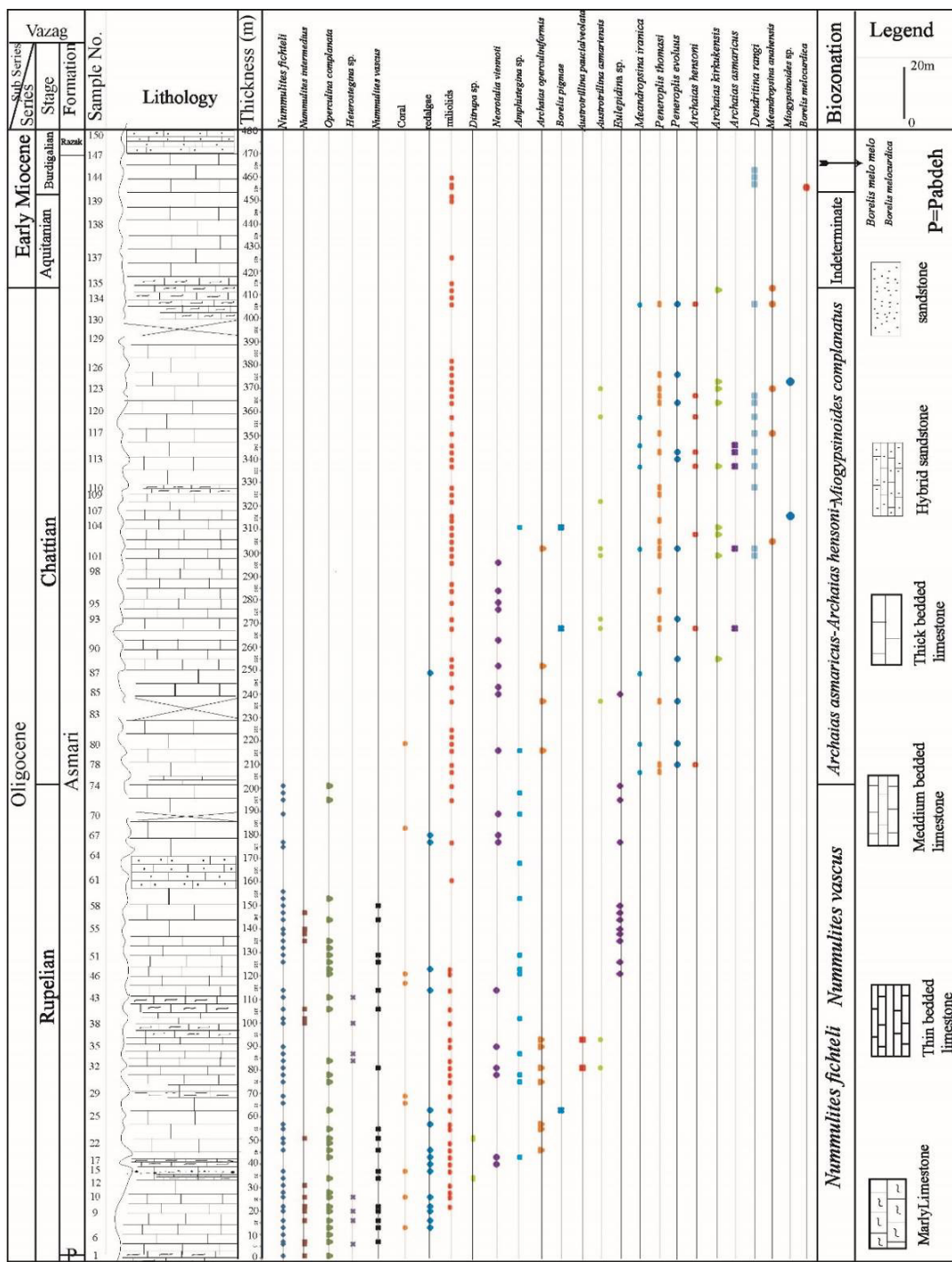
این زون انباشتی معادل زون انباشتی *vascus- Nummulites fichteli assemblage zone* لارسن و همکاران (۲۰۰۹) و زون انباشتی کاوزاک و پویگنانت (۱۹۹۷) به سن روپلین است.

زون انباشتی ۴

این زون انباشتی در دو رخمنون اشگر و گرگدان به ترتیب با سمترا ۱۸۷ و ۲۶۰ مشاهده شده است و شامل مجموعه فسیلی زیر است.

globigerinids, *Operculina sp.*, *O. complanata*, *Eulepidina sp.*, *E. dilatata*, *Ditrupa sp.*, *Heterostegina sp.*, *Nephrolepidina sp.*, *N. tourouperi*, *N. marginata*, *Amphistegina sp.*, *Spiroclypeus sp.*, *S. blanckenhorni*, *miliolids*, *Austrotrillina sp.*, *A. asmariensis*, *Sphaerogypsina globus*, *Neorotalia viennoti*, *Valvulinid sp.*, *Boerlis pygmaea* and *Archaias sp.*

هر دو زون انباشتی معادل *Lepidocydina-Operculina*- *Ditrupa assemblage zone* لارسن و همکاران (۲۰۰۹) و SBZ22B کاوزاک و پویگنانت (۱۹۹۷) به سن روپلین- شاتین می‌باشد. اما برپایه حضور *Spiroclypeus*



شکل ۳. ستون گسترش چینه‌نگاری زیستی سازند آسماری در رخنمون وزگ بر مبنای چینه‌نگاری زیستی لارسن و همکاران (۲۰۰۹)

Borelis melo curdica-Borelis melo assemblage zone و زون انباشتی قرار دارد. اغلب فون‌ها در این زون شامل *miliolids* و *Dendritina rangi* است. سن این زون انباشتی طبق لارسن و همکاران (۲۰۰۹) آکی تائین است.

زون انباشتی ۵

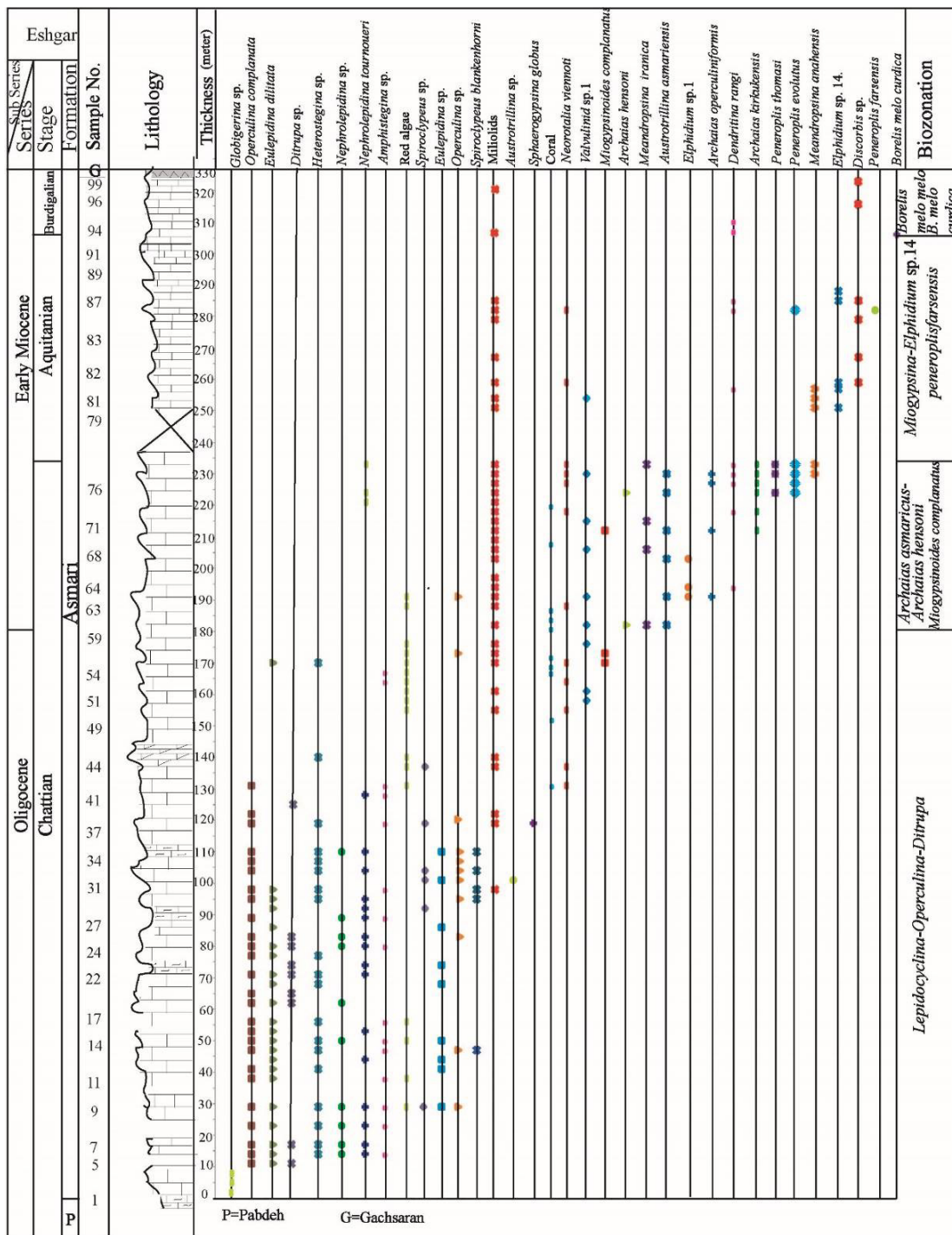
این زون انباشتی مهم و فقیر از فسیل در رخنمون وزگ به سمترا ۴۲ متر و در رخنمون گرگدان به سمترا ۷۴ متر وجود دارد و بر پایه اهنبرگ و همکاران (۲۰۰۷) بین زون انباشتی *Archaias asmaricus-Archaias hensonii-Miogypsinoidea complanatus Assemblage*

این زون انباشتی معادل با زون انباشتی *Borelis melo* *curdica*-*Borelis melo melo* assemblage zone of SBZ25 لارسن و همکاران (۲۰۰۹) و زون انباشتی کاوزاک و پویگنانت (۱۹۹۷) به سن بور دیگالین است.

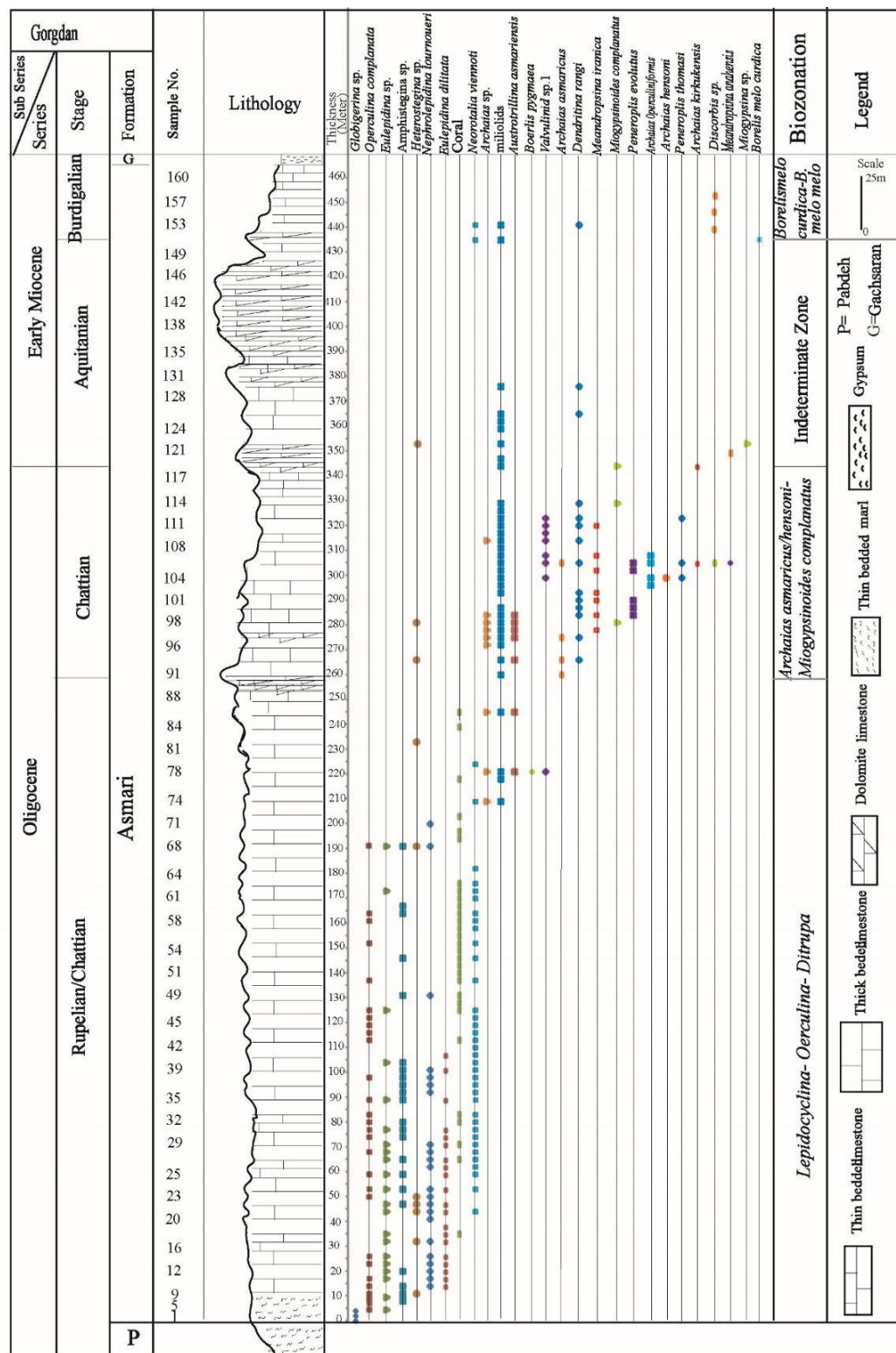
زون انباشتی ۶

این زون انباشتی در هر سه رخمنون مشاهده شده است و در رخمنون‌های وزگ، اشگر ۱۴ متر و گرگدان ۲۶ متر ستبرای دارد و شامل:

Borelis melo curdica, *Neorotalia* sp., *Elphidium* sp., *Dendritina rangi*, *miliolids*, *Discorbis* sp.



شکل ۴. ستون گسترش چینه‌نگاری زیستی سازند آسماری در رخمنون اشگر بر مبنای چینه‌نگاری زیستی لارسن و همکاران (۲۰۰۹)



شکل ۵. ستون گسترش چینه‌نگاری زیستی سازند آسماری در رخنمون گرگدان بر مبنای چینه‌نگاری زیستی لارسن و همکاران (۲۰۰۹)

تاقدیس خویز (رحمانی و همکاران، ۲۰۰۹)، دهلران، معمولان، سپید دشت و کبیرکوه (وزیری‌مقدم و همکاران، ۲۰۱۰)، تنگ ابولحیات، تنگ زنجیران و تنگ

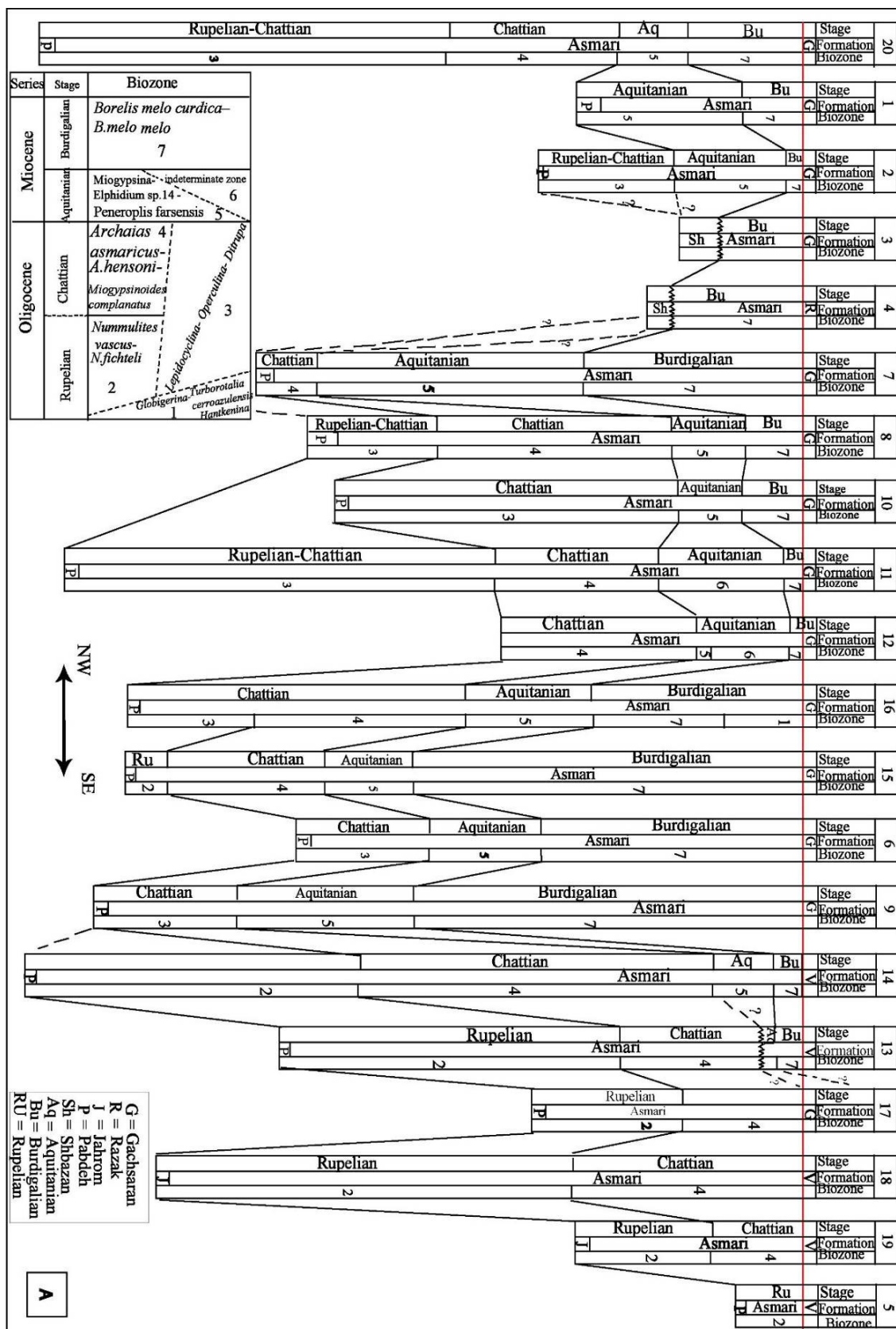
تطابق و گسترش زون‌های ابافتی ستون چینه‌شناسی و نحوه‌ی گسترش عمودی زون‌های ابافتی در رخنمون‌های مورد مطالعه با رخنمون‌های

ایذه و رخمنون کبیرکوه، تاقدیس خویز و قلعه نار گسترش دارد. زون زیستی *Archaias asmricus*- *Archaias hensonii-Miogypsinoides complanatus* زون ایذه، در ناحیه فارس و فروافتادگی دزفول دیده می‌شود. زون فقیر از فسیل و زون زیستی- *Miogypsinia*- *Elphidium sp.* ۱۴- *Peneroplis farsensis* آکی‌تانین در زون ایذه، فروافتادگی دزفول و در رخمنون‌های کبیرکوه و دهلران دیده شده‌اند. زون زیستی *Borelis melo curdica-Borelis melo melo* به سن بوردیگالین در همه‌ی رخمنون‌ها به جز زاگرس مرتفع و ناحیه فارس دیده شده‌اند. بایوزون‌های شناسایی شده در رخمنون‌های مورد پژوهش تطابق با دیگر نواحی زاگرس دارد.

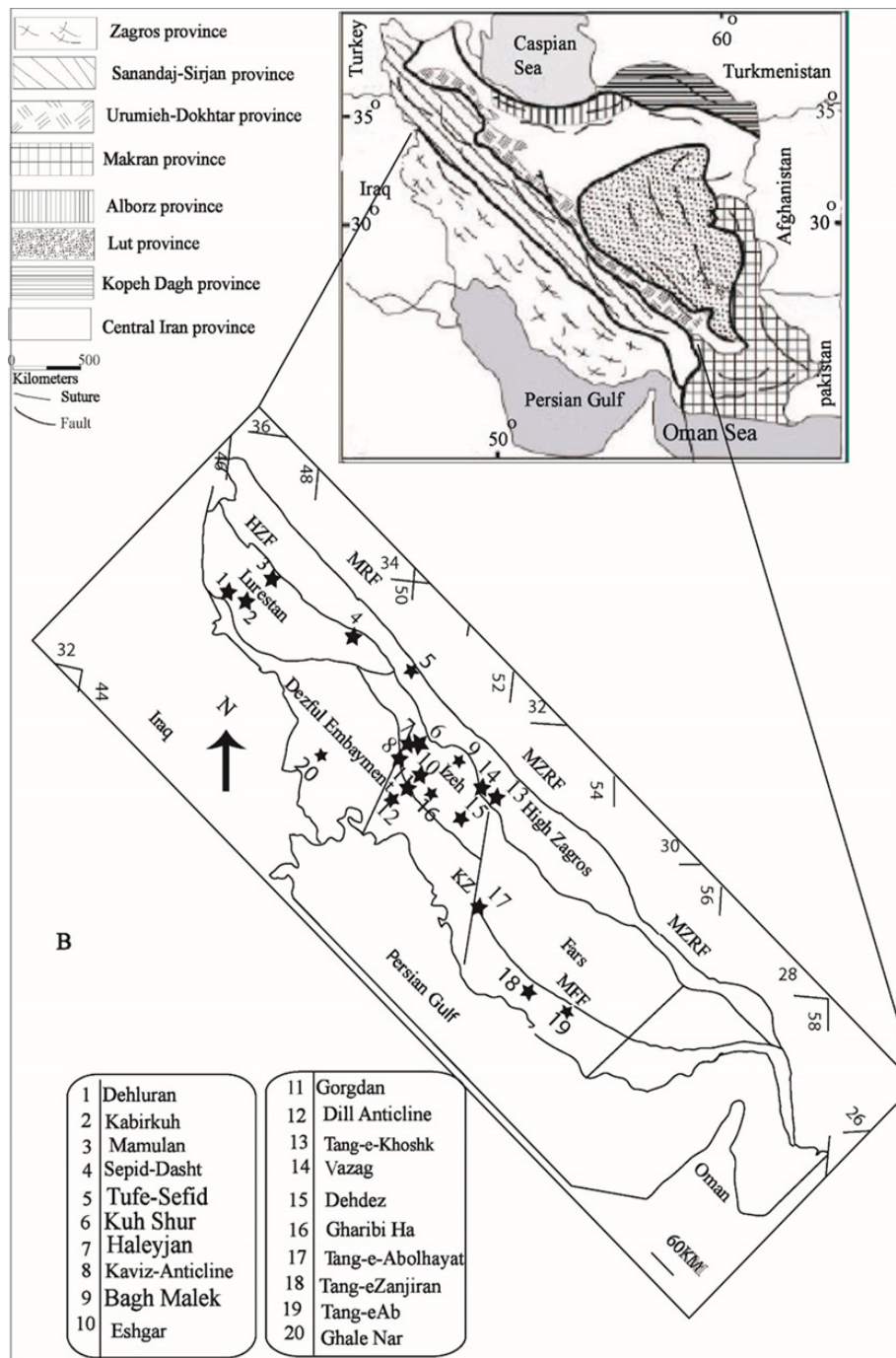
آب (صادقی و همکاران، ۲۰۱۰)، تاقدیس دیل (الله کرم پور دیل و همکاران، ۲۰۱۰)، قلعه نار (ذبیحی زو ارم و همکاران، ۲۰۱۳) غربی‌ها، هالیجان و کوه شور (طاهری و همکاران، ۲۰۱۷) و تنگ خشک (الله کرم پور دیل و همکاران، ۲۰۱۸) مطابق جدول ۳، شکل A۶ و B *Globigerina spp.-Turborotalia cerroazulensis-Hantkenina* تنها در رخمنون غربی‌ها دیده شده و بر روی زون انباشتی- *Borelis melo curdica*- قرار گرفته است. سن این زون انباشتی با توجه به لایه‌های زیرین و بالایی از ائوسن پسین تا میوسن پیشین در نظر گرفته شده است (طاهری و همکاران، ۲۰۱۷). زون انباشتی *Nummulites vascus- Nummulites fichteli* به سن روپلین در ناحیه فارس، زاگرس مرتفع و رخمنون دهدز در زون ایذه گسترش دارد. زون انباشتی *Lepidocyclus*-

جدول ۳. جایگاه رخمنون‌های سازند آسماری در نقاط مختلف حوضه زاگرس

| Location | Biozone | References | Name | Geographic coordinates |
|--|---------|------------------------------------|------------------|------------------------|
| Izeh Zone | 2,4,5,7 | (Seyrafyan et al., 2011) | Dehdez | 'N,50°4.32'E48°31' |
| High Zagros | 2 | (Seyrafyan et al., 2011) | Tufe-Sefid | 32°35'N,50°9'E |
| Izeh Zone | 3,5,7 | (Seyrafyan et al., 2011) | Bagh-e Malek | 31°13.97'N,49°56'E |
| Izeh Zone | 3,4,5,7 | (Taheri et al., 2017) | Kuh-e Bad | 31°45'N,49°E~ |
| Izeh Zone | 3,5,7 | (Taheri et al., 2017) | Kuh Shur | 31°45'N,49°E~ |
| Izeh Zone | 3,5,7 | (Taheri et al., 2017) | Halayjan | 31°45'N,49°E~ |
| Izeh Zone | 3,4,5,7 | (Taheri et al., 2017) | Gharibi Ha | 31°30'N,50° E~ |
| Lurestan | 7 | (Vaziri-Moghaddam et al., 2010) | Mamulan | 33°18'N,47°48'E |
| Lurestan | 7 | (Vaziri-Moghaddam et al., 2010) | Sepid Dasht | 33°12'N,48°53'E |
| Lurestan | 5,7 | (Vaziri-Moghaddam et al., 2010) | Dehluran | 33°51'N,46°54'E |
| Lurestan | 3,5,7 | (Vaziri-Moghaddam et al., 2010) | Kabir kuh | 33°6.5'N,47°21.4'E |
| Boundary of the Dezful Embayment and Izeh zone | 3,4,5,7 | (Ali Rahmani et al., 2009) | Khaviz Anticline | 33°42'N,50°18'E |
| Costal Fars | 2,4 | (Sadeghi et al., 2010) | Tang-e Abolhayat | 29°42'N,51°47'E |
| Interior Fars | 2,4 | (Sadeghi et al., 2010) | Tang-e Zanjiran | 29°4'N,52°39'E |
| Interior Fars | 2,4 | (Sadeghi et al., 2010) | Tang-e Ab | 28°26'N,53°45'E |
| Dezful Embayment | 4,5,6,7 | (Allahkarampour Dill et al., 2010) | Dill Anticline | 30°33'N,50°44'E |
| Boundary of the High Zagros and Interior Fars | 2,4,6,7 | This study | Vazag | 30°33'N,51°40'E |
| Izeh Zone | 3,4,5,7 | This study | Eshgar | 30°25'N,51°21'E |
| Izeh Zone | 3,4,6,7 | This study | Gorgdan | 30°21'N,50°53'E |



شکل ۶. (A) همبستگی چینه‌نگاری زیستی سازند آسماری در رخمنون‌های مورد پژوهش



شکل ۶ (B) جایگاه جغرافیایی نقاط مورد تطابق

تدریجی رخساره‌ها و عدم مشاهده رخساره‌های ریزشی و لغشی که بیانگر شیب بالای محیط‌رسوبی در زمان رسوب‌گذاری است مدل رسوبی سازند آسماری در رخنمون‌های مورد پژوهش یک پلاتفرم کربناته از نوع رمپ و شامل محیط‌های رمپ داخلی، رمپ میانی و رمپ بیرونی است (جدول ۴ و شکل‌های ۷، ۸، ۹، ۱۰، ۱۴ و ۱۵).

ریزرخساره‌ها و محیط رسوبی

در این تحقیق بر پایه اجزای زیستی اصلی رسوبات در سازند آسماری رخنمون‌های وزگ، اشگر و گرگدان که شامل فرامینیفرهای کفزی، مرجان و جلبک‌های قرمز و همچنین بررسی خصوصیات سنگ‌شناسی و بافتی ۸ رخساره اصلی و ۱۸ زیررخساره در رخنمون‌های مورد پژوهش تشخیص داده شد. با توجه به تبدیل شدن

یک بافت رودستون/ وکستون حضور دارند. حضور فرامینیفرهای بزرگ با پوسته کشیده و نازک، افزایش ژرفای آب و به تبع آن کاهش نفوذ نور و شرایط الیگوفوتیک پایین سرایشیب قاره (برندانو و کردا، ۲۰۰۲ و باسی و همکاران، ۲۰۰۷) را نشان می‌دهد. این دسته از فرامینیفرها در محیطی با شوری نرمال تا قاعده زون نوری قادر به زندگی هستند (جیل، ۲۰۰۰؛ رومرو و همکاران، ۲۰۰۲). این ریزرساره در رخنمون اشگر دیده شد (شکل ۱۴).

ب: بایوکلاستیک لپیدوسیکلینا/نومولیتیده پکستون/ رودستون

از ویژگی این ریزرساره فراوانی و فشردگی بالای (Nummulites) در رخنمون وزگ و (Lepidocyclus) در رخنمون اشگر و گرگدان است (شکل ۱۴). یک توافق عمومی وجود دارد که اجتماعات نومولیت‌ها بیانگر نرخ بالای تولید کربنات در زون مزووفوتیک (رمپ میانی)، زیر پایه امواج آرام هستند (بیوینگتن پنی و ریسی، ۲۰۰۴).

پ: بایوکلاستیک میلیولید نومولیتیده پکستون/ گرینستون

در این ریزرساره همیافتی (Nummulites) درشت و کروی شکل و (miliolids) اغلب گرد شده می‌باشند که نشان‌دهنده انرژی نسبتاً بالای محیط است. این ریزرساره بیانگر شرایط یوفوتیک (به دلیل حضور فرامینیفرهای پورسلانوز) تا مزووفوتیک (به دلیل حضور نومولیت‌های کروی) می‌باشد (پومار و همکاران، ۲۰۱۴). از دیگر اجزای این ریزرساره جلبک‌های قرمز و نفروپلیدینا است. در واقع شکل نومولیت‌ها بیانگر جایگاه آن در محیط‌رسوبی است. به طوری که نومولیت‌های درشت و کشیده مربوط به بخش‌های دور از ساحل و آبهای ژرف‌تر برای استفاده حداکثری از نور خورشید و انواع کروی مربوط به محیط‌های نزدیک به ساحل است. گروه دوم برای محافظت از هم‌زیست خود در مقابل نور خورشید و جلوگیری از تخریب پوسته در آب‌های آشفته دارای دیواره نسبتاً ضخیم‌تر هستند (بیوینگتن پنی و ریسی، ۲۰۰۴). این ریزرساره فقط در رخنمون وزگ دیده شد (شکل ۱۴). و مشابه آن در رخنمون‌های تنگ سرخ و تنگ خشک از حوضه‌ی زاگرس گزارش شده است (الله کرم پور دیل و همکاران، ۲۰۱۸).

مجموعه رخساره‌ای ۱: بایوکلاستیک پلانکتونیک فرامینیفرها/ وکستون/ پکستون شامل دو زیر مجموعه رخساره‌ای زیر است:

الف: پلانکتونیک فرامینیفرها/ وکستون/ پکستون
این مجموعه شامل تناوب سنگ‌آهک‌های نازک‌لایه و مارن‌های سبزرنگ با لایه‌بندی تقریباً افقی مربوط به مرز تدریجی سازند پایده و آسماری است. تاکسون‌های اصلی این زیر مجموعه شامل فرامینیفرهای پلانکتون از جمله (Globorotalia, Globigerina) است. این ریزرساره در رخنمون اشگر و گرگدان دیده شد (شکل ۱۴).

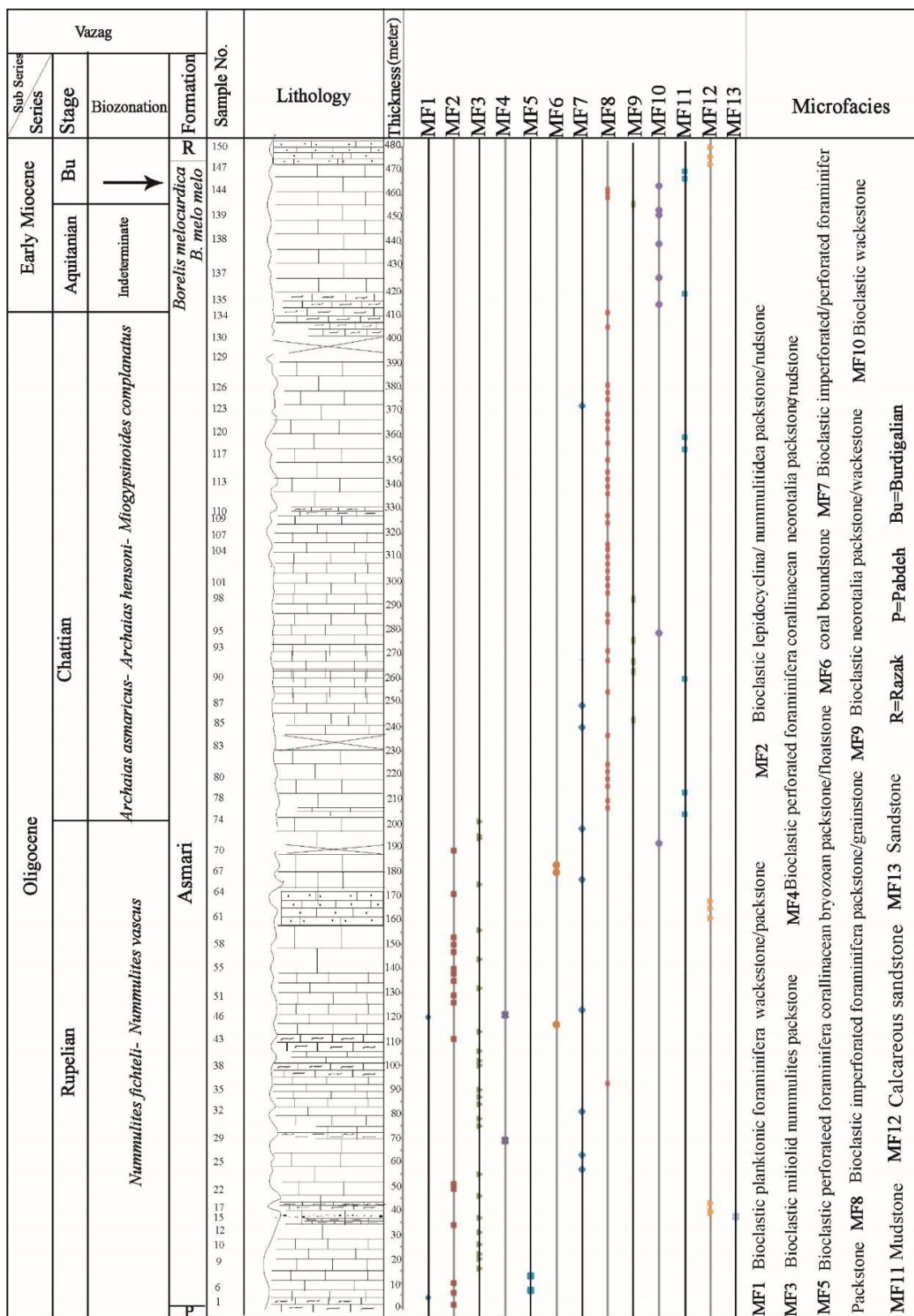
ب: بایوکلاستیک پلانکتونیک فرامینیفرها/ وکستون/ پکستون

این ریزرساره با همراهی فرامینیفرهای پلانکتون و کفزی کوچک و قطعات خرد شده و دوباره حمل شده از (Operculina) که در یک بافت گل‌پشتیبان حضور دارند، مشخص می‌شود (الله کرم پور دیل، ۲۰۱۸). حضور فرامینیفرهای پلانکتون، بافت ریز دانه، نبود ساخته‌ای رسوبی گویای این است که این رخساره در محیط آبهای آرام و ژرف با شوری نرمال دریایی نهشته شده است (کاسوویک و همکاران، ۲۰۰۴). نبود فرامینیفرهای بزرگ و جلبک‌های قرمز بیانگر تنهشست این رخساره در زیر ناحیه نوری و در بخش انتهایی رمپ بیرونی است (جیل، ۲۰۰۰؛ کاسوویک و همکاران، ۲۰۰۴؛ پومار و همکاران، ۲۰۰۴، ۲۰۱۲، ۲۰۱۴). این رخساره معادل RMF5 فلوگل (۲۰۰۴) می‌باشد. این ریزرساره در رخنمون‌های وزگ و اشگر دیده شد (شکل ۱۴). مشابه این ریزرساره‌ها از رسوبات قاعده سازند آسماری از نواحی مختلف حوضه‌ی رسوبی زاگرس گزارش شده است (وزیری‌مقدم و همکاران، ۲۰۱۰؛ صادقی و همکاران، ۲۰۱۰؛ الله کرم پور دیل و همکاران، ۲۰۱۸).

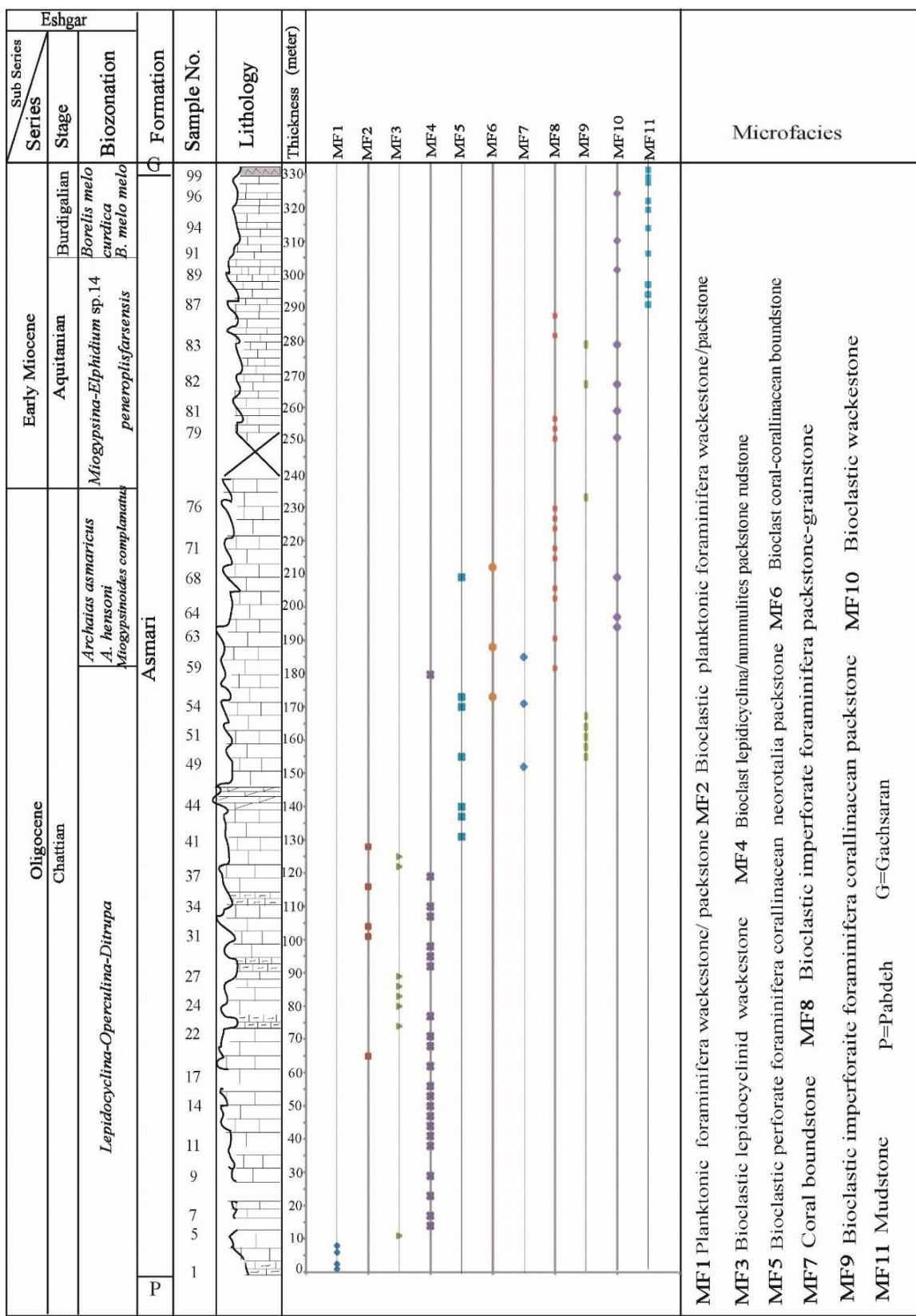
مجموعه رخساره‌ای ۲: بایوکلاستیک فرامینیفرای منفذدار پکستون/ وکستون شامل ریزرساره‌های زیر است.

الف: بایوکلاستیک لپیدوسیکلینا وکستون/ فلوتسون

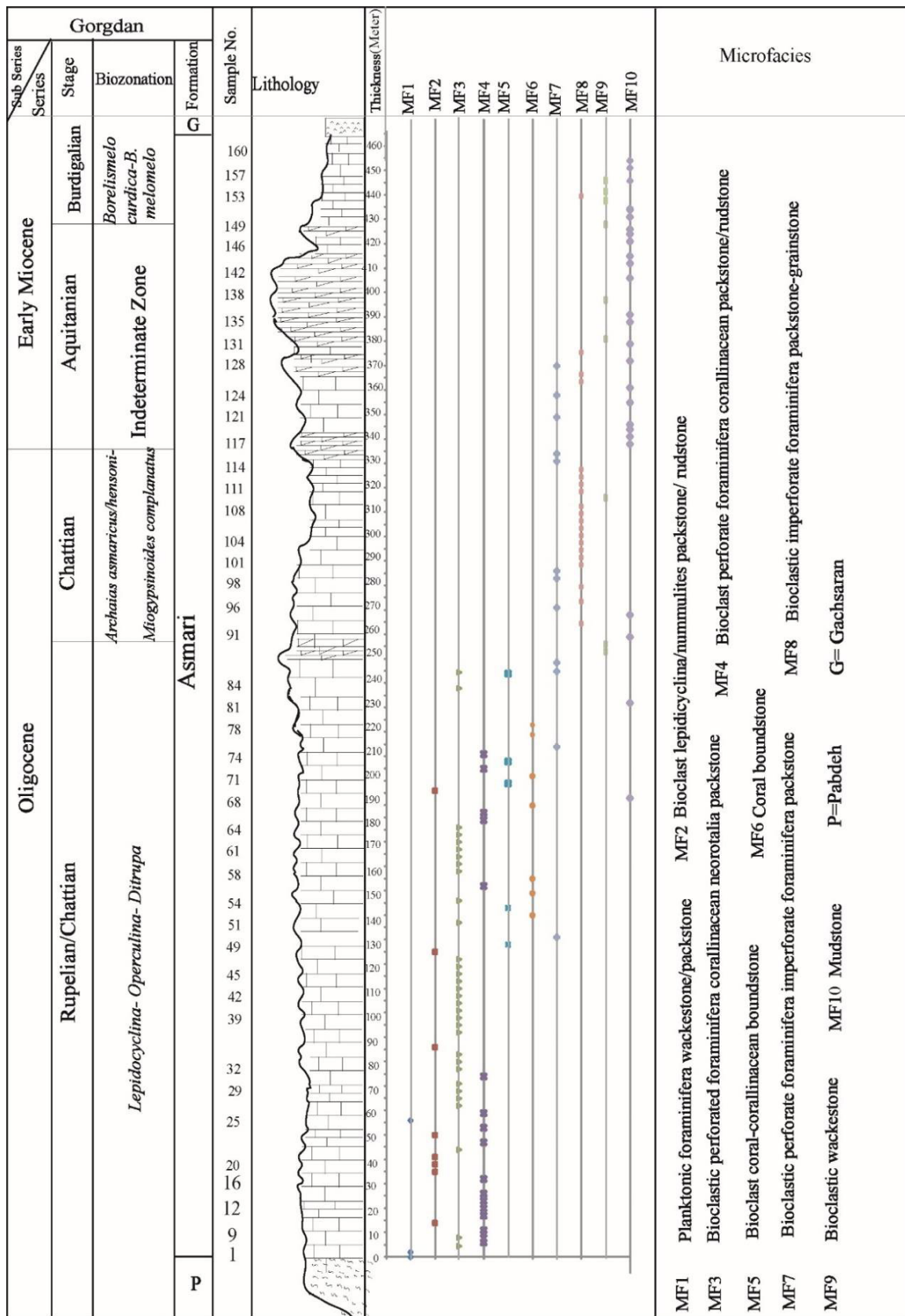
این ریزرساره، با وجود فرامینیفرهای کفزی بزرگی چون (Operculina, Lepidocyclus) نازک و کشیده و قطعات بایوکلاستی همانند بریوزوئر، اکینوئید و جلبک در



شکل ۷. ستون ریزرساره‌های سازند آسماری در رخمنون ورگ



شکل ۸. ستون ریزرساره‌های سازند آسماری در رخمنون اشگر



شکل ۹. ستون ریزرسارهای سازند آسماری در رخنمون گرگدان

مجموعه رخساره‌ای ۴: کورال باندستون که شامل ریزرخساره‌های زیر است.

الف: **کورال-کورالیناسه آ پکستون/روdstون**

از شخص‌های این ریزرخساره فراوانی قطعات کورال و کورالیناسه آ به همراه فرامینیفرهای منفذدار در زمینه پکستون تا روdstون است. وجود فونای فوق شرایط محیطی دریای باز با شوری معمولی و انرژی متوسط است. حضور کورالیناسه آ و فرامینیفرهای بزرگ، وجود رمپ میانی با شرایط الیگوتروفیک را بیان می‌کند (پومار و همکاران، ۲۰۱۴). این ریزرخساره در رخمنون اشگر و گرگدان دیده شده است (شکل ۱۵).

ب: کورال باندستون

مشاهده بافت متصل مرجانی در بُرش میکروسکوپی و عدم همراهی با هیچ نوع بیوتایی، ویژگی مهم این ریزرخساره می‌باشد. بر پایه ویلسون (۱۹۷۵) و فلوگل (۲۰۰۴). با توجه به جایگاه چینه‌شناسی این رخساره در میان رخساره‌های لاغونی و دریای باز و همچنین بازدهی‌های میدانی پراکنده و قابل تعقیب نبودن در گسترش جانبی این مرجان‌ها مرتبط با ریف تکه‌ای^۱ هستند. همچنین مرجان‌ها نشان‌دهنده شرایط نسبتاً آرام در پایین‌ترین زون یوفوتیک است (پومار و همکاران، ۲۰۱۴). رخساره کورال باندستون معادل RMFI2 فلوگل (۲۰۰۴) می‌باشد. این ریزرخساره در هر سه رخمنون دیده شده است (شکل ۱۵).

مجموعه رخساره‌ای ۵: **بایوکلاستیک فرامینیفرای منفذدار، بدون منفذ پکستون شامل ریزرخساره‌ی زیر است.**

در این ریزرخساره اجزای اصلی فرامینیفرهای منفذدار کوچکی چون (*Neorotalia*) نئوروتالیا و به مقدار کمتر، انواع بدون منفذ همچون (*miliolids*, *Borelis*, *Archaias*) می‌باشد. بایوکلاستها نیز شامل خرده‌های جلبک قرمز، دوکفه‌ای، بارناکل‌ها و قطعات اکینوئید می‌باشند (شکل ۱۵). حضور همزمان فرامینیفرهای منفذدار و بدون منفذ، جلبک قرمز به همراه سایر فوناهای دریای باز بیانگر رسوب‌گذاری در یک لاغون باز با چرخش آب و عدم حضور یک سد تاثیرگذار می‌باشد (رومرو و همکاران،

مجموعه رخساره‌ای ۳: **بایوکلاستیک فرامینیفرای منفذدار کورالیناسه آ پکستون/روdstون شامل ریزرخساره‌های زیر است.**

الف: **بایوکلاستیک فرامینیفرای منفذدار کورالیناسه آ نئوروتالیا پکستون/روdstون**
این ریزرخساره با حضور فراوان (*Neorotalia*, *Red algae*) (*Lepidocyclus*, *Amphistegina*) و قطعات بایوکلاست‌هایی همانند اکینوئید و مولوسکا شناسایی شد. غالب بودن نئوروتالیا عدسی شکل و گرد و جلبک قرمز کورالیناسه آ نشانگر رسوب‌گذاری در ناحیه الیگوفوتیک است (کردا و برندانو، ۲۰۰۳). حضور این فرامینیفرهای کفزی کوچک نسبت به رسوبات دربرگیرنده فرامینیفرهای کشیده ژرف‌کمتری را نشان می‌دهد (پومار و همکاران، ۲۰۱۴). این ریزرخساره در رخمنون‌های اشگر و گرگدان دیده شد (شکل ۱۴).

ب: بایوکلاستیک فرامینیفرای منفذدار کورالیناسه آ بریوزوئر پکستون/فلوتستون

این زیررخساره با حضور فراوان بریوزوا جلبک‌های قرمز و نومولیت‌های کشیده مشخص می‌شود. که بیانگر رسوب‌گذاری در دریای باز با شوری نرمال در ناحیه الیگوفوتیک است. این ریزرخساره به صورت محدود در رخمنون وزگ دیده شد (شکل ۱۴). مشابه این ریزرخساره در حوضه‌ی زاگرس توسط (امیرشاه کرمی، ۲۰۱۳) گزارش شده است.

پ: بایوکلاستیک فرامینیفرای منفذدار کورالیناسه آ پکستون/روdstون

اجزای اصلی این ریزرخساره شامل کورالیناسه آ و فرامینیفرهای منفذدار مانند (*Lepidocyclinidae*, *Nummulitidae*) است. وجود غالب کورالیناسه آ و فرامینیفرهای منفذدار بیانگر رسوب‌گذاری در ناحیه الیگوفوتیک می‌باشد. همچنین این ریزرخساره با حضور فرامینیفرهای عدسی شکل و گرد نسبت به رسوبات دارای فرامینیفرهای بزرگ و کشیده ژرف‌کمتری را نشان می‌دهند (پومار و همکاران، ۲۰۱۴). این ریزرخساره در رخمنون گرگدان دیده شد (شکل ۱۴). مشابه این ریزرخساره در حوضه‌ی زاگرس (رخمنون‌های لالی، دهلران، کبیرکوه و سپیددشت) گزارش داده است (وزیری‌مقدم و همکاران، ۲۰۰۶، ۲۰۱۰).

^۱ Patch reef

بایوکلاستیک وکستون در رخمنون اشگر و گرگدان دیده شده است (شکل ۱۵).

مجموعه رخساره‌ای ۷: دولوستون و مادستون کوارتزدار

با توجه به بافت مادستون و جایگاه چینه‌شناسی، این ریزرخساره در توالی نماینده بخش آرام و نزدیک به ساحل یک لاغون می‌باشد. در این رخساره آلوکم‌های اسکلتی و غیراسکلتی فراوانی کمی داشته و حضور دانه‌هایی از کوارتز آواری بصورت پراکنده در پافتی دانه ریز و میکرایتی و همچنین نبود شواهد خروج از آب مانند فابریک چشم پرنده‌ای نشان‌دهنده تشکیل این رخساره در یک محیط رسوب‌گذاری محدود و کم انرژی با شوری بالا در بخش‌های کم ژرف‌لاگون به سمت ساحل می‌باشد (راسر و همکاران، ۲۰۰۵؛ رحمانی و همکاران، ۲۰۰۹؛ وزیری‌مقدم و همکاران، ۲۰۱۰). این رخساره معادل RMF19 فلوگل (۲۰۰۴) می‌باشد (شکل ۱۵).

مجموعه رخساره‌ای ۸: ماسه‌سنگ آهکی / ماسه‌سنگ

حضور اجزای آواری مشخص‌ترین ویژگی این ریزرخساره است. همراه با این ذرات آواری در برخی از نمونه‌ها، فرامینیفرهایی (*Amphistegina*, *Neorotalia*)، قطعات جلبک قرمز، اکینودرم و مولوسکا از اجزای زیستی این ریزرخساره محسوب می‌شوند. تمامی اجزای یاد شده در زمینه‌ای از ماتریکس میکرایتی قرار گرفته‌اند. این رخساره در دشت ساحلی و در محیط نزدیک به ساحل انباسته شده است. این رخساره تنها در رخمنون وزگ دیده شد (شکل ۱۵). مشابه این ریزرخساره در حوضه‌ی زاگرس در رخمنون‌های تنگ سرخ و تنگ خشک توسط الله کرم پور دیل و همکاران (۲۰۱۸) گزارش شده است.

همبستگی ریزرخساره‌های مورد بررسی با دیگر نقاط حوضه زاگرس

در زمان روپلین شرایط تشکیل سازند آسماری در نواحی فارس، بخشی از زون ایده، زاگرس مرتفع عمدتاً بخش میانی و بیرونی رمپ کربناته بوده که با حضور ریزرخساره‌های این بخش مانند: بایوکلاست نومولیتیده پلانکتونیک فرامینیفر وکستون- پکستون و بایوکلاست لپیدوسيکلینیده نومولیتیده وکستون- پکستون منعکس می‌شود (صیرفیان و همکاران، ۲۰۱۱؛ طاهری و همکاران، ۲۰۱۱). در حالی که در همین زمان در ناحیه لرستان (۱۳۹۴)

۲۰۰۲) که در بخش پایینی زون نوردار بالایی تشکیل شده است (باسی و همکاران، ۲۰۰۷).

مجموعه رخساره‌ای ۶: بایوکلاستیک فرامینیفرای بدون منفذ پکستون / گرینستون شامل ریزرخساره‌های زیر است.

الف: بایوکلاست فرامینیفرای بدون منفذ پکستون / گرینستون

فرامینیفرهای بدون منفذ با تنوع بالا، (*Archaias*, *Peneroplis*, *Dendritina*, *Astrotrillina*, *Valvulinid*, *Borelis* and *miliolids*) اصلی‌ترین اجزا و بایوکلاست‌هایی مانند خرددهای مولوسکا و بارناکل‌ها، خرددهای اکینودرم و فرامینیفرهای منفذدار از اجزای فرعی هستند تجمعات فرامینیفرهای بدون منفذ بزرگ از میکروفسیل‌ها شاخص محیط لاغون بوده و بیانگر زیستگاه‌های کم ژرف‌با اندک شوری بالا، نور کافی و حاوی علف‌های دریایی می‌باشند (باسی و نبلستیک، ۲۰۱۰ و برنداو و همکاران، ۲۰۰۹). این ریزرخساره در هر سه رخمنون دیده شد (شکل ۱۵). مشابه این ریزرخساره در رخمنون‌های تنگ‌خشک، تنگ‌سرخ، داریشک توسط (الله کرم پور دیل و همکاران ۲۰۱۸) و در رخمنون‌های لالی، دهلران، کبیرکوه، معمولان توسط وزیری‌مقدم و همکاران (۲۰۱۰؛ ۲۰۰۶) از حوضه‌ی زاگرس گزارش شده است.

پ: بایوکلاست نوروتالیا پکستون / وکستون

این رخساره با فراوانی (*Neorotalia*) و خرددهای (*Discorbis*, *miliolids*) مولوسکا و به میزان کمتر مشخص می‌شود. تنوع کم، نوروتالیاهای کوچک و خرددهای مولوسکا این تفسیر را تأیید می‌کند که این رخساره در بخش داخلی پلاتفرم و لاغون محصور با شوری بالا رسوب‌گذاری کرده است. این ریزرخساره تنها در رخمنون وزگ دیده شده است (شکل ۱۵).

ت: بایوکلاستیک وکستون

حضور گل کربناته فراوان به همراه (*miliolids*) و همچنین تنوع کم فونا در این ریزرخساره بیانگر رسوب‌گذاری در محیط کم ژرف‌لاگون و ارتباط محدود با دریای باز را پیشنهاد می‌کند. ریزرخساره‌های غنی از *miliolids* شاخص محیط‌های غنی از مواد مغذی و یا شوری زیاد است (جیل، ۲۰۰۰). این رخساره معادل RMF13 فلوگل (۲۰۰۴) می‌باشد. ریزرخساره

و اجتماعات فرعی شامل مولوسکاها، اکینوئیدها و بریوزوئرها که در توسعه‌ی پلاتفرم‌های کربناته نقش دارند اثر می‌گذارند.

شوری

یکی از عوامل کنترل کننده در نحوه توزیع اجتماعات ارگانیکی و تنهنست رسوبات، شوری است. درصد بالای شوری به عنوان عامل محدود کننده بر توزیع فرامینیفرهای کفزی بزرگ است (بیوینگتن پنی و ریسی، ۲۰۰۴). و بر پایه تحمل شوری محدوده خاصی از دریا را اشغال می‌کنند. در رخنمون‌های مورد پژوهش بر پایه فسیل‌ها ۳ محیط از نظر شوری تشخیص داده شده است. که مشابه تحقیقات (صدق و همکاران، ۲۰۰۹) شکل (۱۱) می‌باشد.

۳۴ تا psu^{40} ^۱: در این محیط با شوری پایین فرامینیفرهای با تنوع کم و صدفهای نازک و بزرگ و کشیده حضور دارند. حضور هم زمان فرامینیفرهای پلانکتون و کفزی منفذدار نشان‌دهنده این محیط است. این محیط در قاعده رخنمون‌های مورد مطالعه و در رمپ بیرونی قرار دارد (جدول ۴).

شوری psu^{50-40} : در محیط‌هایی با شوری بالا میزان کربنات کلسیم بالا بوده و فرامینیفرها با دیواره پورسلانوز فراوان هستند (موری، ۲۰۰۶). در چنین شوری همیافته فرامینیفرهای کوچک با منفذدار و فرامینیفرهای بدون منفذ مشهود است (موری، ۲۰۰۶). این محیط در بخش میانی سازند آسماری در رخنمون‌های مورد مطالعه وجود دارد (جدول ۴). در ضمن (*Alveolinidae, Borelis*) شوری بیش از psu^{50} را تحمل نمی‌کنند (موری، ۲۰۰۶).

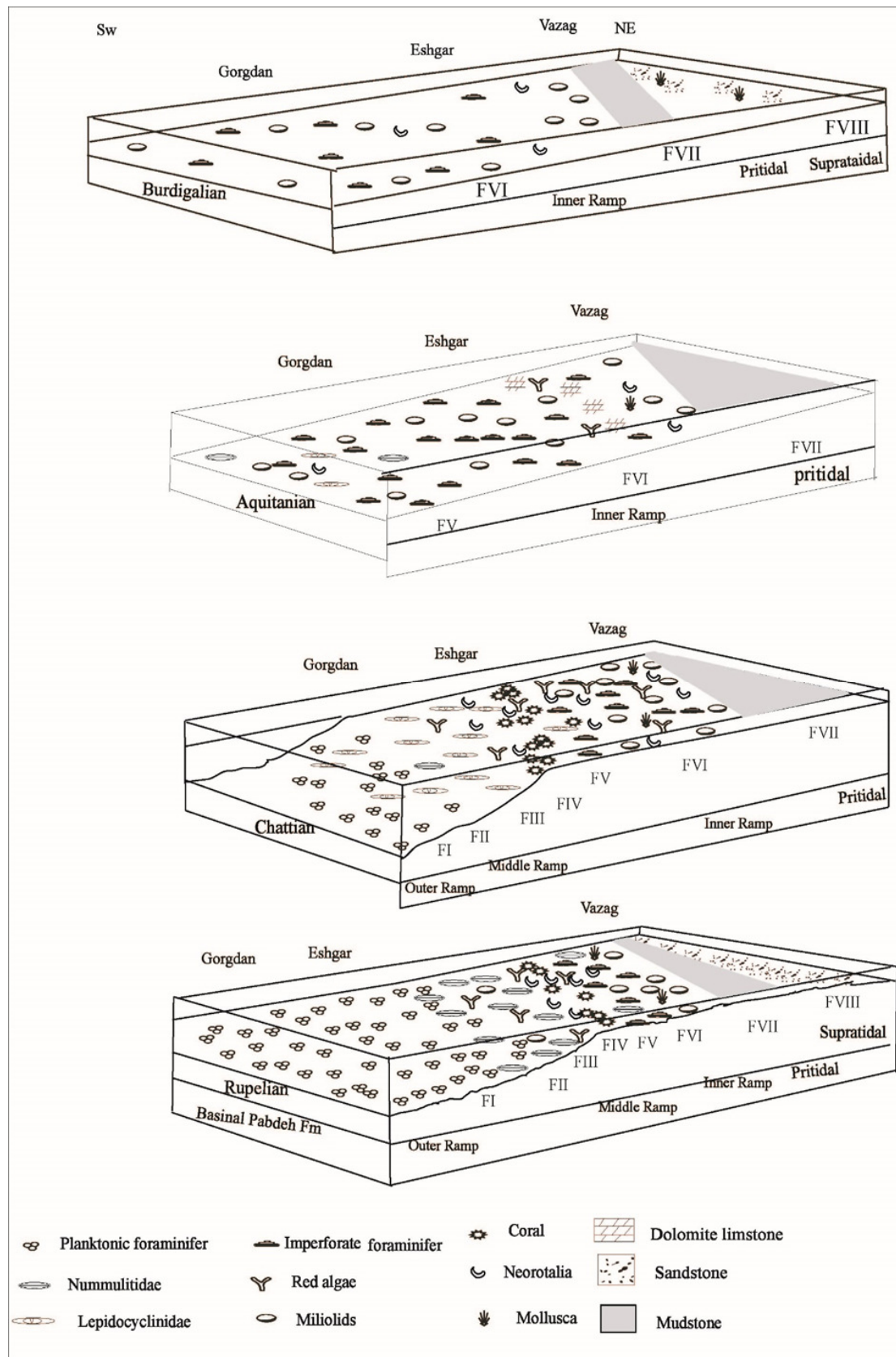
شوری بیش از psu^{50} در محیط‌هایی با درصد شوری بالا فقط فرامینیفرهای با دیواره پورسلانوز (*Dendritina, Archaias, Peneroplis, miliolids*) حضور دارند. عدم وجود فرامینیفرهای منفذدار و دیگر فونای دریایی باز نشان‌دهنده محیط هایپرسالین است (صدق و همکاران، ۲۰۰۹)، این اجتماعات محیط لاغون را اشغال کرده‌اند (وزیری‌مقدم و همکاران، ۲۰۰۶؛ مصدق و همکاران، ۲۰۰۹).

رخنمون معمولان و رخنمون سپیددشت یک نبود رسوب‌گذاری وجود دارد (وزیری‌مقدم و همکاران، ۲۰۱۰). سازند آسماری در زمان شاتین با حضور ریزرسارهای مربوط به بخش داخلی رمپ کورال اکوالیناسه آ باندستون، بایوکلاست فرامینیفرهای منفذدار- بدون منفذ فرامینیفرآ وکستون- پکستون، (به غیر از ناحیه لرستان و زاگرس مرتفع) تنهنست شده است. در زمان آکیتانین در ناحیه فارس داخلی و ساحلی، زاگرس مرتفع و در لرستان رخنمون سپیددشت و معمولان شرایط برای تنهنست سازند آسماری فراهم نبوده و در لرستان و زاگرس مرتفع با نبود رسوب‌گذاری مواجه بوده است. در ناحیه فارس سازند گچساران جایگزین سازند آسماری شده است. در زون ایذه و دزفول در زمان آکیتانین رخسارهای بایوکلاست میلیولید وکستون و دولومیت تنهنست شده است. در زمان بوردیگالین سازند آسماری در رمپ داخلی و شامل رخسارهای بایوکلاست میلیولید وکستون، مادستون می‌باشد به جز در رخنمون سپیددشت در ناحیه لرستان در رمپ بیرونی و میانی و در رخنمون غربی‌ها به علت تکتونیک منطقه بروی رسوبات کم ژرف‌ها رسوبات پلاژیک تنهنست شده است. ریزرسارهای شناسایی شده در رخنمون‌های مورد پژوهش تطابق با دیگر نواحی زاگرس دارد. در واقع می‌توان نتیجه گرفت دریایی آسماری در ناحیه فارس در بخش‌های کم ژرف‌ها قرار داشته و در زمان روپلین شرایط برای تنهنست سنگ‌آهک‌های کم ژرف‌ها سازند آسماری فراهم شده و همچنین در دوره‌های بعدی دریایی کم ژرف‌آسماری پایان یافته و تبخیری‌های سازند گچساران و آواری‌های سازند رازک تنهنست شده‌اند. هر چه به سمت فراتادگی دزفول و ناحیه لرستان پیش می‌رویم دریایی آسماری ژرفتر شده و با تاخیر زمانی محیط برای انباست سازند آسماری فراهم شده است (جدول ۳).

محیط دیرینه سازند آسماری

عوامل مختلفی شامل شوری، مواد غذایی، نور، ژرف‌آب، و... بر اجتماعات اصلی ارگانیکی سازند آسماری که شامل فرامینیفرهای کفزی (*Nummulites, Operculina*، *Lepidocyyclina*، *Archaias*, *Borelis*, *Peneroplis*, *miliolids and Dendritina*) جلبک‌های قرمز و کورال‌ها

^۱ واحد شوری کاربردی: practical salinity unit :



شکل ۱۰. محیط رسوبی سازند آسماری در رخمنون‌های وزگ، اشگر و گرگدان

جدول ۴. محیط رسوبی، ریزرسارهای دیرینه بوم‌شناسی رخنمون‌های وزگ، اشگر و گرگدان

| Depositional environment | Facies association | Sub-Facies | Light | Nutrition | Salinity | Location | | |
|--------------------------|---------------------|---|------------------|------------------------|--------------|----------|--------|---------|
| | | | | | | Vazag | Eshgar | Goranda |
| Coastal plain | Sandstone | sandstone | Continental | Meso-Eutrophy | $P_{su}50 <$ | ✓ | | |
| | | Calcareous sandstone | | | | ✓ | | |
| Proximal inner ramp | Mud/Dol | Dolomitic mudstone/mudstone | | | | ✓ | ✓ | ✓ |
| Distal inner ramp | Bi Im perF pac | Bioclastic wac | Euphotic | | $40-50 psu$ | | ✓ | ✓ |
| | | Bioclastic neorotalia pac/wac | | | | ✓ | | |
| | | Bioclastic imperforate foraminifera pac/grain | | | | ✓ | ✓ | ✓ |
| | | Bioclastic imperforate foraminifera corallinacean pac | | | | ✓ | ✓ | ✓ |
| Proximal middle ram | Bi PerF Im perF | Bioclastic perforate foraminifera imperforate foraminifera pac | Meso/Euphotic | | $34-40 psu$ | | ✓ | |
| | Coral bdt | Coral boundstone | | | | ✓ | ✓ | ✓ |
| | | Bioclastic Coral- corallinacean | | | | ✓ | ✓ | ✓ |
| middle ramp | Bi PerF Cor pac/rud | Bioclastic perforate foraminifera corallinacean pac/rud | Oligo/Mesophotic | Oligotrophy-Mesotrophy | | | | ✓ |
| | | Bioclastic perforate foraminifera corallinacean bryozoans pac/float | | | | ✓ | | |
| | | Bioclastic perforate foraminifera corallinacean /neorotalia pac/rud | | | | | ✓ | ✓ |
| Distal middle ramp | Bi PerF pac/rud | Bioclastic miliolids Nummulitidae pac/rud | Oligophotic | | | ✓ | | |
| | | Bioclastic lepidocyclus/ Nummulitidae pac/rud | | | | ✓ | ✓ | ✓ |
| | | Bioclastic lepidocyclus wac/float | | | | | ✓ | |
| Basin | BiPl wac/pac | Bioclastic planktonic foraminifera wackestone/packstone | Aphotic | Oligotrophy | | ✓ | ✓ | |
| | | planktonic foraminifera wackestone/packstone | | | | | ✓ | ✓ |

BiPl wac/pac = Bioclastic planktonic foraminifera wackestone/packstone, Bi PerF pac/rud= Bioclastic perforate foraminifera packstone/rudstone, Bi PerF Cor pac/rud= Bioclastic Perforate foraminifera corallinacean packstone/rudstone, Coral bdt=Coral boundstone, Bi PerF Im perF pac = Bioclastic Perforate/imperforate foraminifera packstone, Bi Im perF pac/grain= Bioclastic imperforate foraminifera packstone/grainstone, Mud/Dol= mudstone and dolomudstone, rud=rudstone, float= floatstone, wac=wackestone, pac=packstone, grain=grainstone

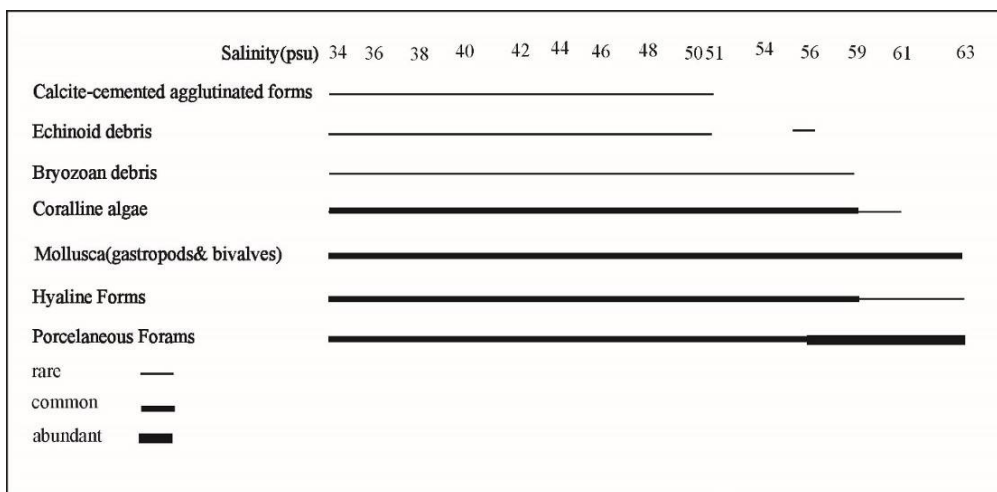
تمرکز مواد غذایی یا دما قرار گیرد و به سمت سطح آب با تغییرات انرژی آب، فتوسنتز یا درجه شوری همراه گردد (امیرشاه کرمی و همکاران، ۲۰۰۷). باسی و همکاران (۲۰۰۷) به کمک نحوه گسترش و پراکندگی فرامینیفرهای کفزی به بازسازی زون نوردار در ارتباط با ژرفای پرداخته‌اند. زون نوردار به دو بخش بالایی و پایینی و

نور

یکی از مهم‌ترین فاکتورهای کنترل‌کننده پراکندگی فرامینیفرها، نور می‌باشد که به طور مستقیم و غیر مستقیم در همزیستی و رژیم غذایی آن‌ها و تولید رسوبات کربناته تاثیر گذار است (هتینگر، ۱۹۹۷ و پومار، ۲۰۰۱). توزیع فرامینیفرها طی تغییرات شدت نور در ستون آب ممکن است به سمت اعمق آب، زیر تاثیر

است (پاسی و همکاران، ۲۰۰۷). در این بخش پایینی زون نوردار معادل oligophoticbiota می‌باشد و شامل فرامینیفرهای منفذدار کشیده و بزرگ (*Nummulites, Lepidocyclina*) که دارای همیزیست نوری می‌باشند (رومرو و همکاران، ۲۰۰۲). امروزه جلبک‌های قرمز از بخش کم ژرف زون oligophoticbiota حضور دارند (تستا و بوسننس، ۱۹۹۹) (جدول ۴).

بخش بالایی به دو زیرزون بالایی و پایینی تقسیم شده پژوهش در زیرزون بالایی فرامینیفرهای بدون منفذ و نئوروتالیدهای کوچک حضور دارند. زیرزون بالایی معادل euphoticbiota می‌باشد و در بخش کم ژرف لagonهای محصور یافت می‌شوند (رومرو و همکاران، ۲۰۰۲) (جدول ۴). در زیرزون پایینی فرامینیفرهای بدون منفذ وجود عدسی شکل همراه با فرامینیفرهای بدون منفذ وجود دارند، که معادل با Mesophotic biota می‌باشد و در رمپ میانی مشاهده می‌گردد (برندانو و همکاران، ۲۰۰۲، ۲۰۰۹؛ جیل، ۲۰۰۰).



شکل ۱۱. محدوده شوری دانه‌های رسوبی مهم در خلیج شارک (صدق و همکاران، ۲۰۰۹)

(رومرو و همکاران، ۲۰۰۲). اندازه بزرگ جثه در شرایط پایدار و الیگوتروفی یک میزیت محسوب می‌شود (رومرو و همکاران، ۲۰۰۲). میلیولیدها در سازند آسماری به عنوان فونای فرصت طلب محسوب می‌شود (امیرشاه کرمی و همکاران، ۱۹۹۷الف). در این پژوهش دو رخساره با یوکلاست و کستون و با یوکلاست نئوروتالیا و کستون/ پکستون نشان‌دهنده شرایط مزوتروفی می‌باشند. در شرایط مزوتروفی میلیولیدها و نئوروتالیاها جانشین روتالیدهای بزرگ می‌شوند (زمگانی و همکاران، ۲۰۰۸). حضور هم‌زمان فرامینیفرهای منفذدار مانند (*Heterostegina, Amphistegina*) با Operculina با فرامینیفرهای بدون منفذ مانند (*Archaias, Peneroplis*) با جلبک‌های قرمز و خردکهای کورال در سازند آسماری نشان‌دهنده شرایط مزوتروفی تا الیگوتروفی می‌باشد (جدول ۴).

مواد غذایی

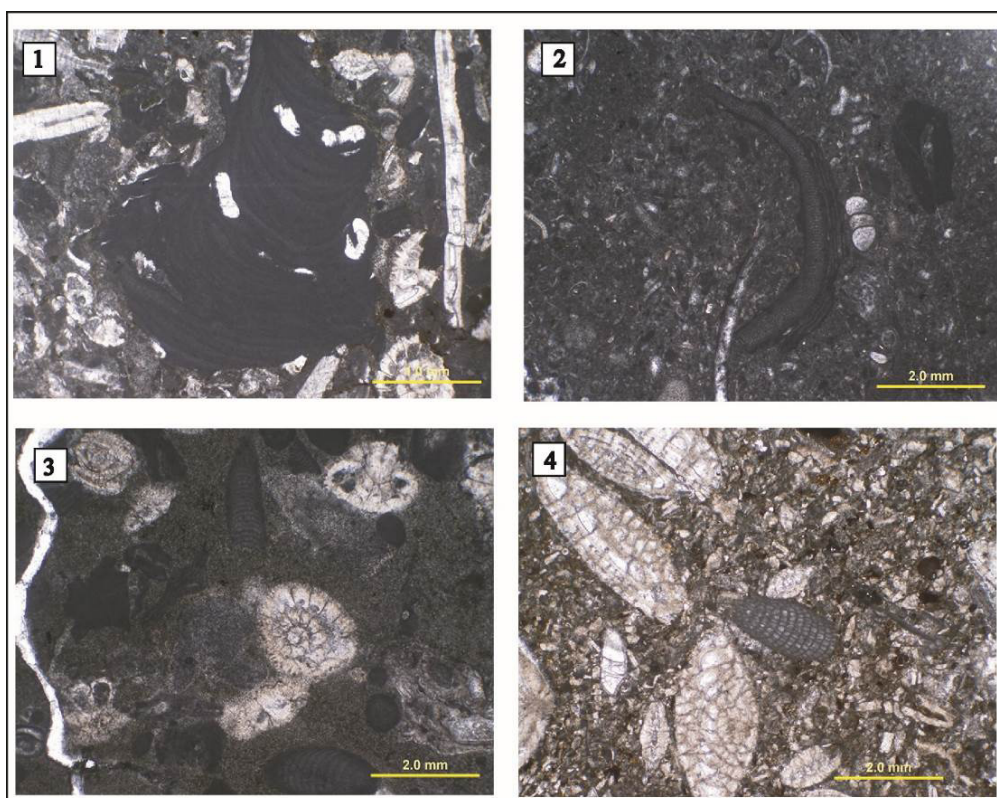
منبع مواد غذایی توسط فرآیندهایی مانند ورود مواد آواری یا بالا آمدن جریانات سرد تامین می‌شود. مواد آواری با ایجاد شرایط مزوتروفیک- یوتروفیک باعث کاهش نفوذ نور و کاهش شفافیت بر روی اجتماعات فرامینیفرهای کفزی اثر می‌گذارد (موتی و هالوک، ۲۰۰۳ و زاماگنی و همکاران، ۲۰۰۸). ریفهای مرجانی در شرایطی که سطح مواد غذایی در پایین ترین سطح خود باشند توسعه می‌یابند و در شرایط یوتروفی یا بالا بودن مواد غذایی سریع از بین می‌روند (سامان کاسو، ۲۰۰۲). فرامینیفرهای بدون منفذ مانند (*Archaias*) نشان‌دهنده پایین بودن سطح مواد غذایی هستند (جیل، ۲۰۰۰؛ سامان کاسو، ۲۰۰۲؛ رومرو و همکاران، ۲۰۰۲). فرامینیفرهای فرصت طلب مانند انواع منفذدار بزرگ در شرایط کمبود مواد غذایی گسترش دارند

لاغون و بخش آهکی مارنی (در بخش انتهایی سراشیب قاره) گزارش شده‌اند (برندانو و همکاران، ۲۰۰۵؛ برآگا و همکاران، ۲۰۰۹، ۲۰۱۰).

جلبک‌های قرمز در رخنمون‌های مورد پژوهش
در توالی مورد مطالعه ۲ زیر خانواده از جلبک‌های قرمز و *Lithophylloideae* (*non-geniculate*) و *Lithophyllum* که شامل *Melobesioideae* (*geniculate*)، *Lithothamnion* و یک گونه (*Subfamily Corallinoideae*) شامل *Corallina* و یک گونه حد واسط و تکاملی بین *geniculate* و *geniculata* *Subterraniophyllum* و *?Corallinoideae* *thomasii* می‌باشد (شکل ۱۲).

جلبک قرمز

یکی از شاخص‌ترین فونای موجود در نهشته‌های سازند آسماری جلبک‌های قرمز می‌باشند. در الیگوسن جلبک‌های قرمز به طور فزاینده‌ای شروع به گسترش در زون‌های فوتیک کربناته (برندانو و همکاران، ۲۰۰۹) و از اجزای رایج پلاتفرم‌های کربناته در طول اوسن تا میوسن بوده‌اند (هالفر و موتی، ۲۰۰۵؛ برآگا و همکاران، ۲۰۱۰؛ باسی و نبلستیک، ۲۰۱۰). در پلاتفرم‌های امروزی، جلبک‌های قرمز فراوان‌ترین و عمده‌ترین عنصر سازنده رمپ میانی بوده (برآگا و همکاران، ۲۰۰۹) از کم ژرفاترین نواحی یوفوتیک تا ژرف‌ترین محیط‌های الیگوفوتیک و از مناطق استوایی تا نیمه قطبی (برآگا و همکاران، ۲۰۱۰) و از محیط‌های الیگوتروف تا آبهای مزوتروف و از عرض‌های جغرافیایی متفاوت و در جایگاه‌های تropیکال تا معتمد (به جز رخساره‌های گلی



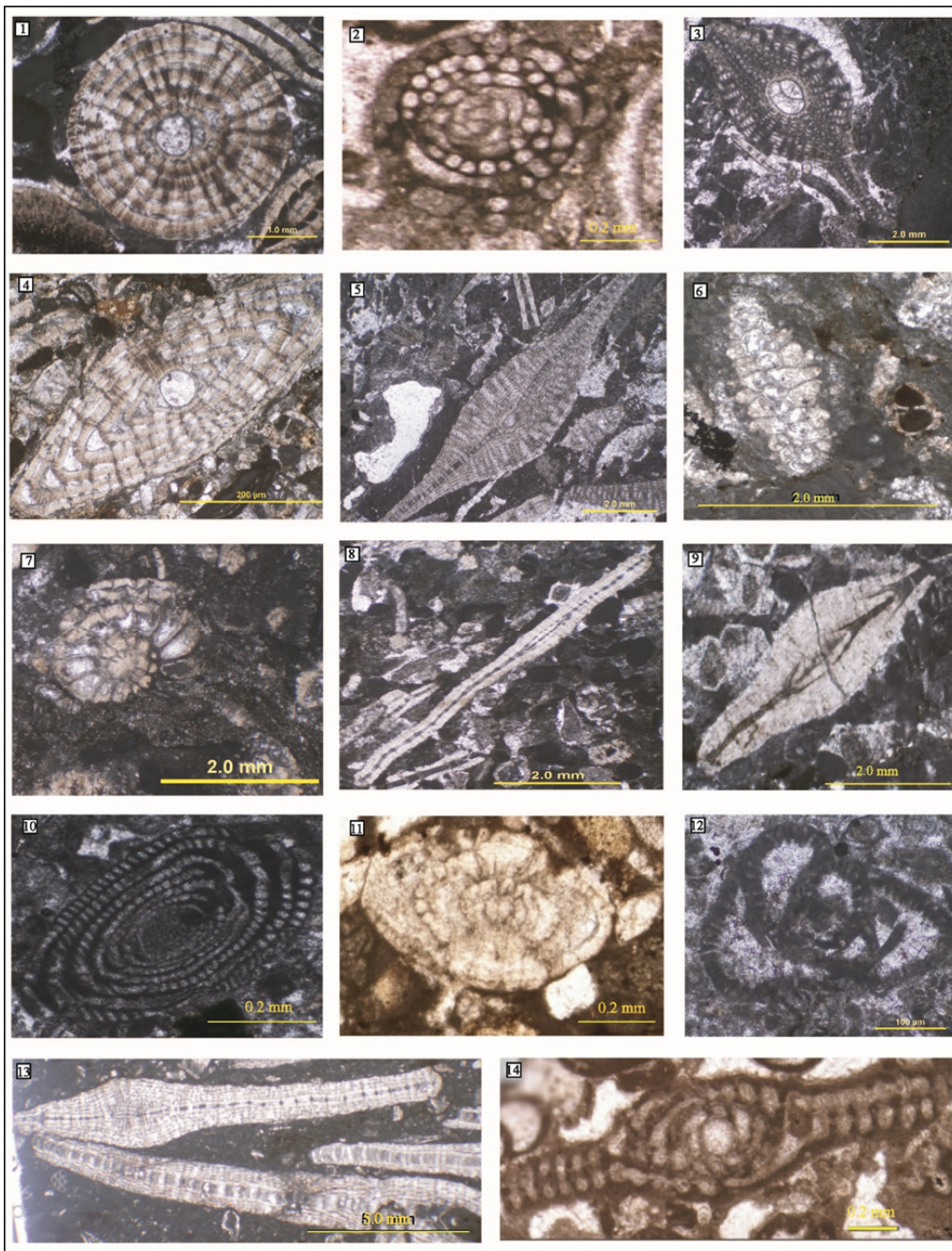
شکل ۱۲. جلبک‌های قرمز در رخنمون‌های مورد مطالعه

1- *Lithothamnion* sp. (Lemoine, 1917), Sample no. G16.

2-*Lithophyllum* gr. *pustulation* (Woelkerling, 1988), Sample no. G72.

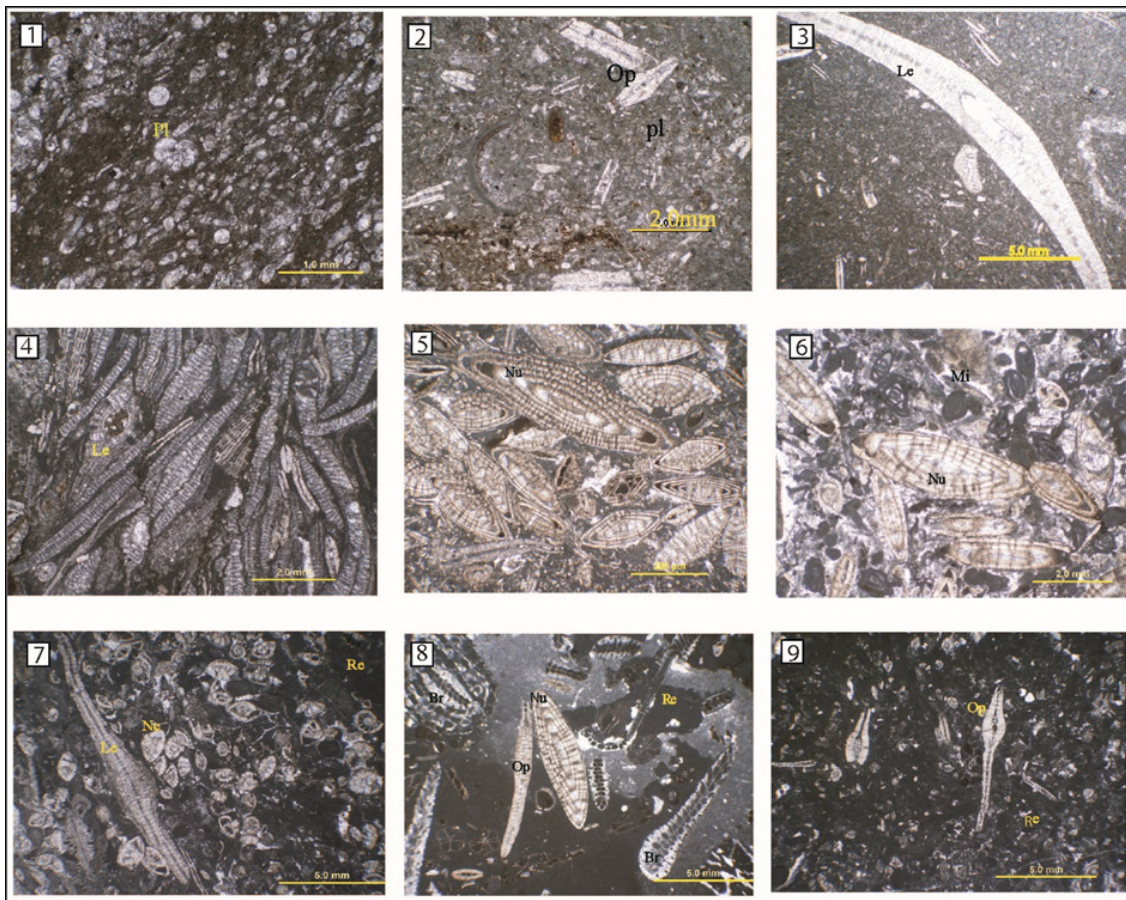
3- *Corallina* sp. (Foslie, 1909), Sample no. G55.

4- *Subterraniophyllum thomasii* (Elliott, 1957), Sample no. V5.



شکل ۱۳. تصویرهایی از فسیل‌های شناسایی شده در رخنمون‌های وزگ، اشگر و گرگدان.

- 1-4-*Nummulites fichteli* (Haynes, 1987; Bignot, 1990), 1-Equatorial section, Sample no. 32V, 2-Axial section, Sample no. 46V.
 2-*Nephrolepidina tournoueri* (Haynes, 1987; Bignot, 1990), Axial section, Sample no. 18G.
 3-*Borelis melo curdica* (Reichel, 1937), Equatorial section, Sample no. 151G.
 5-*Eulepidina dilatata* (Bignot, 1990), Axial section, Sample no. E29.
 6-*Miogypsinoides complanatus* (Bignot, 1990; Loeblich and Tappan, 1988), Subaxial section, Sample no. E42.
 7-*Neorotalia viennoti* (Greig, 1935), Subequatorial section, Sample no. G48.
 8-*Heterostegina* sp. (Bignot, 1990; Loeblich and Tappan, 1988), Axial section, Sample no. E33.
 9-*Operculina complanata* (Bignot, 1990; Loeblich and Tappan, 1988), Axial section, Sample no. G6.
 10-*Borelis pygmaea* (Loeblich and Tappan, 1988), Axial section, Sample no. V92.
 11-*Elphidium* sp. 14 (Thomas, 1950), Axial section, Sample no. E82.
 12-*Austrotrillina asmariensis* (Schlumberger, 1893), Equatorial section, Sample no. V93.
 13-*Spiroclypeus blankenhorni* (Henson, 1937), Subaxial section, Sample no. E29.
 14-*Archaias asmaricus* (Smout, 1963), Axial section, Sample no. VI03.



شکل ۱۴. پلانکتونیک فرامینیفرای وکستون/پکستون. نمونه ۲ رخنمون گرگدان. ۲- بایوکلاستیک پلانکتونیک فرامینیفرای وکستون/پکستون. نمونه ۱۹ رخنمون اشگر. ۳- بایوکلاستیک لپیدوسیکلینا وکستون/فلوتستون. نمونه ۲۳ رخنمون اشگر. ۴- بایوکلاستیک لپیدوسیکلینا/نومولیتیده پکستون/رودستون. نمونه ۱۰ رخنمون گرگدان. ۵- بایوکلاستیک لپیدوسیکلینا/نومولیتیده پکستون/رودستون. نمونه ۲۱ رخنمون وزگ. ۶- بایوکلاستیک میلیولید نومولیتیده پکستون/گرینستون. نمونه ۴۹ رخنمون وزگ. ۷- بایوکلاستیک فرامینیفرای منفذدار کورالیناسه آئورولیتالیا پکستون/رودستون. نمونه ۲۶ رخنمون گرگدان. ۸- بایوکلاستیک فرامینیفرای منفذدار کورالیناسه آبریوزوئر پکستون/فلوتستون. نمونه ۴ رخنمون وزگ. ۹- بایوکلاستیک فرامینیفرای منفذدار کورالیناسه آ پکستون/رودستون. نمونه ۹ رخنمون گرگدان.

(Le: *Lepidocyclina*, Nu:*Nummulites*, Br:*Bryozoan*, Pl:*Plankton*, Ne: *Neorotalia*, Mi: *Miliolid*, Op:*Operculina*, Re: *Red algae*).

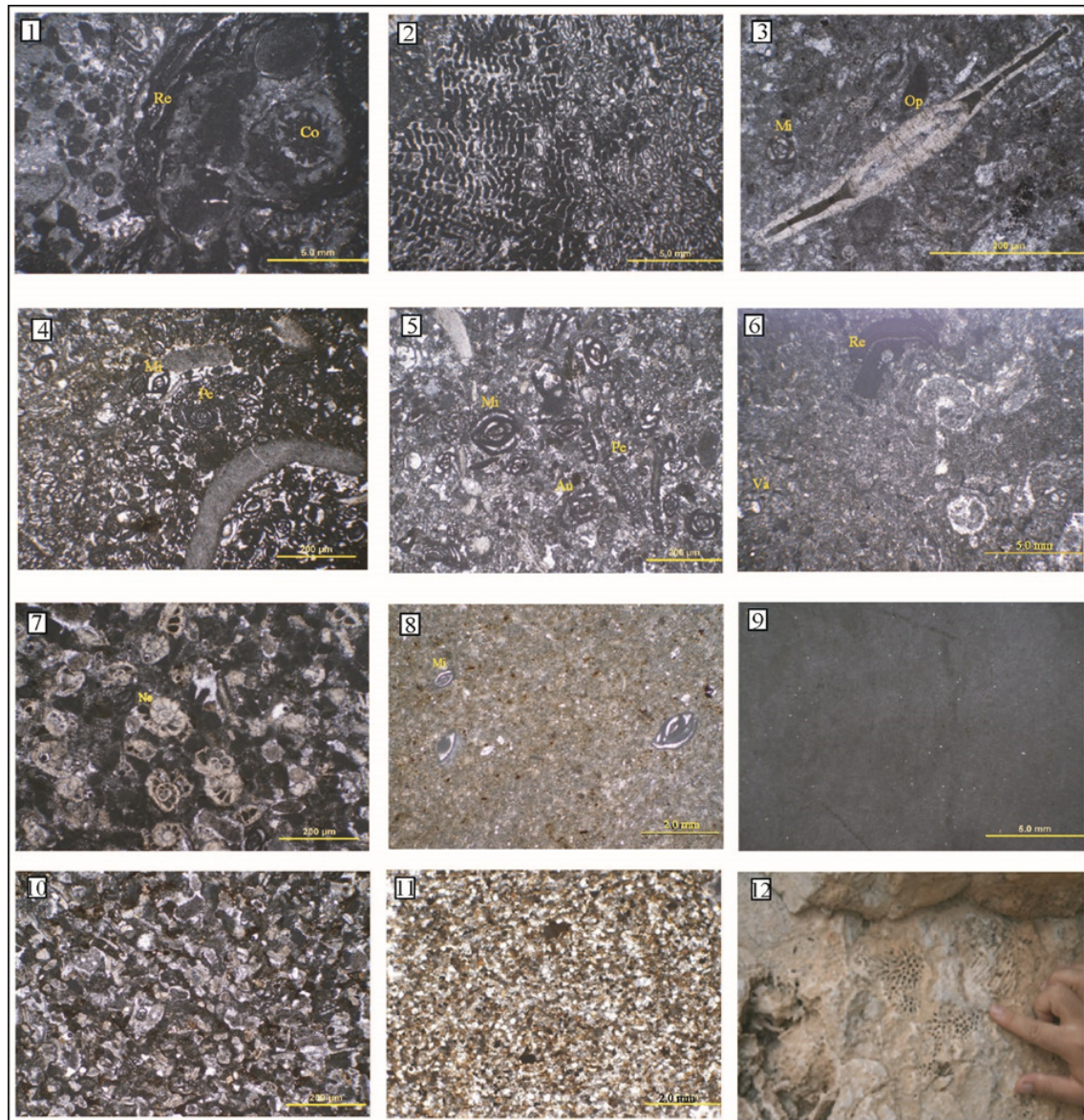
زون نوری و در آب‌های گرم تا معتدل نواحی ژرف یافت می‌شوند. در رخنمون‌های مورد مطالعه *Lithothamnion* در رخساره بیوکلاست فرامینیفرای منفذدار کورالیناسه آ پکستون- روستون دیده شده است. *Corallinoideae?* (*Subterraniphyllum*) طبق فرضیه (مود و کوندل، ۲۰۱۱) یک گونه *thomasii* تحولی و تکاملی بین *geniculate*-*non-geniculate* است. یکی از ویژگی‌های مهم *Subterraniphyllum thomasii* حضور در آب‌های کم ژرف، شفاف گرم در زیر خط ساحلی و یا لایه‌هایی که از ماسه‌های منفصل

دیرینه بوم‌شناختی جلبک‌های قرمز در رخنمون‌های مورد پژوهش

Lithophylloideae (*Lithophyllum*) نوری بالایی و به صورت بوته‌ای در محیط‌هایی با انرژی بالا یافت می‌شوند. این جلبک‌ها در محیط‌های کم ژرف و احتمالاً در پشت ریف یا میانه ریف‌های تخت زندگی می‌کنند (حمد و همکاران، ۲۰۱۵). در رخنمون‌های مورد مطالعه این جلبک در رخساره بایوکلاستیک فرامینیفرای منفذدار، بدون منفذ پکستون دیده شده است.

Subterraniophyllum رخنمون‌های مورد مطالعه فقط در رخنمون وزگ به سن روپلین و همراه با دانه‌های کوارتز دیده شده است.

ساخته شده یا ریف‌های در جازا که با ماسه و ماسه‌سنگ پر شده یافت می‌شود (ونوسی و همکاران، ۲۰۱۰). به نظر می‌رسد که *Subterraniophyllum* محدود به زمان الیگومن باشد (باسی و نبلستیک، ۲۰۰۰). در



شکل ۱۵. ریزرساره‌های سازند آسماری در رخنمون‌های مورد بیوهش ۱- بایوکلاستیک کورال-پکستون/روdeston. نمونه ۴۸ رخنمون گرگدان. ۲- کورال باندستون. نمونه ۷۰ رخنمون گرگدان. ۳- بایوکلاستیک فرامینیفرای منفذدار، بدون منفذ نمونه ۴۸ رخنمون وزگ. ۴- بایوکلاست فرامینیفرای بدون منفذ پکستون/گرینستون. نمونه ۸۹ رخنمون وزگ. ۵- بایوکلاست فرامینیفرای بدون منفذ پکستون/گرینستون. نمونه ۱۰۶ رخنمون گرگدان. ۶- بایوکلاستیک فرامینیفرای بدون منفذ کورالیناسه آپکستون. نمونه ۵۰ رخنمون اشگر. ۷- بایوکلاست نئوروتالیا پکستون/وکستون. نمونه ۸۶ رخنمون وزگ. ۸- بایوکلاستیک وکستون. نمونه ۶۳ رخنمون اشگر. ۹- مادستون. نمونه ۱۳۴ رخنمون گرگدان. ۱۰- ماسه‌سنگ آهکی. نمونه ۶۲ رخنمون وزگ. ۱۱- ماسه‌سنگ. نمونه ۱۶ رخنمون وزگ. ۱۲- کورال. نمونه میدانی رخنمون گرگدان متراده ۱۴۲ متری.

Op:Operculina, Mi:Miliolid, Ne:Neorotalia, Pe:Peneroplis, Au:Astrotrillina, Va:Valvulinid, Re:Red algae).

- زارع، م.، وزیری‌مقدم، ح.، طاهری، ع.، و غبیشاوی، ع (۱۳۹۴) ریزرخساره‌ها، محیط‌رسوبی و چینه‌نگاری سکانسی سازند آسماری در بال جنوبی تاقدیس کوه‌سیاه در شمال دهدشت، زاگرس. نشریه علمی-پژوهشی رسوب‌شناسی کاربردی، دوره ۳، شماره ۵، ۲۸-۱۲.
- طاهری، م.، وزیری‌مقدم، ح.، طاهری، ع.، و ، ع (۱۳۹۴) ریزرخساره‌ها و محیط‌رسوبی سازند آسماری در زون ایده (منطقه ایده)، حوضه رسوی زاگرس. نشریه علمی پژوهشی زمین‌شناسی نفت ایران، شماره ۱۰، سال پنجم، ۴۵-۲۰.
- فرشی، م.، موسوی‌حرمی، ر.، محبوبی، الف.، و خانه‌پاد، م (۱۳۹۶) رخساره‌ها و فرآیندهای دیاژنزی و تاثیر آن بر توزیع ویژگی‌های پتروفیزیکی و کیفیت مخزنی سازند آسماری در میدان نفتی گچساران. نشریه علمی-پژوهشی رسوب‌شناسی کاربردی، دوره ۵، شماره ۹، ۵۷-۴۰.
- مؤسسه جغرافیایی و کارتوگرافی گیتاشناسی (۱۳۸۴) اطلس راههای ایران ۱:۱۰۰۰۰۰، ۱:۲۷۱، ص. ۵۳۶.
- مطیعی، ه (۱۳۷۲) زمین‌شناسی ایران، چینه‌شناسی زاگرس، انتشارات سازمان زمین‌شناسی کشور، ۵۳۶ ص.
- Adams, T. D., Bourgeois, F (1967) *Asmari biostratigraphy: Geological and Exploration, Iranian Offshore Oil Company Report, no. 1074, (unpublished)*.
- Alavi, M (2007) *Structures of the Zagros fold-thrust belt in Iran. Am J Sci, 307: 1064-1095.*
- Allahkarampour Dill, M., Seyrafian, A., Vaziri-Moghaddam, H (2010) *The Asmari Formation, north of the Gachsaran (Dill anticline), southwest Iran: facies analysis, depositional environments and sequence stratigraphy. Carbonates and Evaporites, 25: 145-160.*
- Allahkarampour Dill, M., Seyrafian, A., Vaziri-Moghaddam, H (2012) *Palaeoecology of the Oligocene-Miocene Asmari Formation in the Dill Anticline (Zagros Basin, Iran). N. JB. Geol. Palaont. Abh.Stuttgrat, 263: 1-18.*
- Allahkarampour Dill, M., Vaziri-Moghaddam, H., Seyrafian, A. Behdad (Ghabeishavi), A (2018) *Oligo-Miocene carbonate platform evolution in the northern margin of the Asmari intra-shelf basin, SW Iran: Marine and Petroleum Geology, 92: 437-461.*
- Amirshahkarami, M., Vaziri-Moghaddam, H., Taheri, A (2007 a) *Paleoenvironmental model and sequence stratigraphy of the Asmari Formation in southwest Iran. Historical Biology, 19(2): 173-183.*
- Amirshahkarami, M., Vaziri-Moghaddam, H., Taheri, A (2007b) *Sedimentary facies and sequence stratigraphy of the Asmari Formation at Chaman-Bolbol, Zagros Basin, Iran. Journal of Asian Earth Sciences, 29(5-6): 947-959.*

نتیجه‌گیری

در پلاتفرم کربناته سازند آسماری در رخنمون‌های وزگ، اشگر و گرگدان بر پایه پراکندگی فرامینیفرهای کف‌زی، ۲۲ جنس و ۲۵ گونه و ۶ زون انباشتی شناسایی شده که شامل: زون انباشتی (*Nummulites vascus*-*Nummulites fichteli*) وزگ، زون انباشتی (*Lepidocyclus-Operculina-Ditrupa*) به سن روپلین - شاتین در رخنمون‌های اشگر و گرگدان ولی به دلیل حضور *Spiroclypeus blanckenhorni* سن رخنمون اشگر به شاتین محدود می‌شود. زون انباشتی (*Archaias asmricus-Archaias hensonii-Miogypsinoi complanatus*) به سن شاتین در *Miogypsina-Elphidium sp. 14, Peneroplis farsensis* به سن آکی‌تائین تنها در رخنمون اشگر، زون انباشتی (*Indeterminate*) به سن آکی‌تائین در رخنمون‌های وزگ و گرگدان و زون انباشتی (*Borelis melo curdica-Borelis melo melo*) به سن بوردیگالین در هر سه رخنمون وزگ، اشگر و گرگدان، زون انباشتی (*Elphidium sp. 14, Peneroplis melo melo*) به سن آکی‌تائین در رخنمون‌های وزگ و گرگدان و زون انباشتی (*Borelis melo curdica-Borelis melo melo*) در همه رخنمون‌ها دیده شد. بررسی‌های دقیق پتروگرافی و آنالیز رخساره‌ها منجر به شناسایی ۸ رخساره با ۱۸ زیررخساره شد که در رمپ داخلی، رمپ میانی و رمپ بیرونی رسوب‌گذاری کردند. دیرینه بوم‌شناختی در رخنمون‌های مورد پژوهش از شوری نرمال تا شوری زیاد، از نظر مواد غذایی یوتروفی تا الیگوتروفی و با غالب بودن شرایط الیگوتروفی تا مزوتروفی، شرایط نوری افوتیک تا یوفوتیک و از نظر ژرف، از مناطق نسبتاً ژرف تا کم ژرف نهشته شده است. همچنین در توالی مورد مطالعه ۲ زیرخانواده از جلبک‌های قرمز-*non-Lithophylloideae (geniculate)* شاخص محیط‌های کم ژرف و *Melobesioideae* شاخص محیط‌های ژرف، یک گونه (geniculate) از زیرخانواده (*Subfamily Corallinoideae*) و یک گونه حد واسطه و تکاملی بین *geniculate* و *non-geniculate* از زیرخانواده *Subterraniophyllum* شامل *?Corallinoideae thomasi* که شاخص محیط کم ژرف است شناسایی شد.

منابع

- آقانباتی، ع (۱۳۸۵) زمین‌شناسی ایران، سازمان زمین‌شناسی و اکتشافات معدنی کشور، ۵۸۶ ص.

- Corda, L., Brandano, M (2003) Aphotic zone carbonate production on a Miocene ramp, Central Apennines, Italy. *Sediment. Geol.*, 161: 55–70.
- Cosovic, V., Drobne, K., Moro, A (2004) Paleoenvironmental model for Eocene foraminiferal limestones of the Adriatic carbonate platform (Istrian Peninsula). *Facies*, 50 (1): 61–75.
- Dunham, R (1962) Classification of carbonate rocks according to depositional texture, in Ham, W.E., (ed.), *Classification of carbonate rocks*. AAPG Memoir 1, Tulsa, 108–121.
- Ehrenberg, S. N., Pickard, N. A. H., Laursen, G. V., Monibi, S., Mossadegh, Z. K. Svana, T. A. A. A., Agrawi, M., McArthur, J. M., Thirlwall, M. F (2007) Strontium isotope stratigraphy of the Asmari Formation (Oligocene – Lower Miocene), SW Iran. *Journal of Petroleum Geology*, 30: 107–128.
- Elliott, G. F (1975) *Subterraniophyllum*, a New Tertiary Calcareous Alga. *Paleontology*, 1: 73–75.
- Embry, A., Klovan, J (1971) A late Devonian reef tract on northeastern Banks Island.NWT. *Bull. Can. Petroleum Geol.*, 19 (4):730.
- Farzipour-Saein, A., Yassaghi, A., Sherkati, S., Koyi, H (2009) Mechanical stratigraphy and folding style of the Lurestan region in the Zagros Fold-Thrust Belt, Iran. *Journal of the Geological Society*, 166(6): 1101–1115.
- Foslie, M (1909) *Algologiske notiser*, VI Kongelige Norske Videnskabers Skrifter, 2: 173-189.
- Flügel, E (2004) *Microfacies of carbonate rocks, analysis interpretation and application*. Berlin-Heidelberg, New York. Springer, 976 p.
- James, G. A., and Wynd, J. G (1965) Stratigraphic nomenclature of Iranian Oil Consortium Agreement Area. AAPG Bulletin, 49: 2182–2245.
- Geel, T (2000) Recognition of stratigraphic sequences in carbonate platform and slope deposits: empirical models based on microfacies analysis of Paleogene deposits in southeastern Spain. *Palaeogeogr Palaeoclimatol Palaeoecol*, 155: 211–238.
- Gradstein, F., J., Ogg and A., Smith (2004) *A Geological Time Scale 2004*. Cambridge University press, Cambridge, U.K,pp.589.
- Greig, D. A (1935) *Rotalia viennotti*, an important foraminiferal species from Asia Minor and Western Asia. *J. Paleont*, 9: 523–526.
- Halfar, J., Mutti, M (2005) Global dominance of coralline red algal facies: a response to Miocene oceanographic events. *Geology*, 33: 481–484 .
- Hamad, M., Nouradini, M., Gammal, El (2015) Coralline Red Algae From The Early Miocene Qom Formation, Bagh Section, Northern Amirshahkarami, M (2013) Microfacies correlation analysis of the Oligocene-Miocene Asmari Formation, in the central part of the Rag-e-Safid anticlinal oil field, Zagros Basin, south-west Iran. *Turkish Journal of earth science*, 22(2): 204-219.-Bassi, D., Nebelsick, J.H (2000) *Calcareous algae from the Lower Oliocene Gornij Grad beds of Northern Slovenia*. *Riv. Ital.paleont. Strat*, 106(1): 99-122.
- Bassi, D., Hottinger, L., Nebelsick, J. H (2007) Larger foraminifera from the Upper Oligocene of the Venetian area, North-East Italy. *Palaeontology*, 50: 845–868.
- Bassi, D., and Nebelsick, J. H (2010) Components, facies and ramps: Redefining Upper Oligocene shallow water carbonates using coralline red algae and larger foraminifera (Venetian area, northeast Italy). *Palaeogeography, Palaeoclimatology, Palaeoecology*, 295: 258–280.
- Beavington-Penney, S. J., and Racey, A (2004) Ecology of extant nummulitids and other larger benthic foraminifera: applications in palaeoenvironmental analysis. *Earth-Science Reviews*, 67: 219–265.
- Bignot, G (1990) *Elements of Micropaleontology*, Graham and Trotman Limited, 217p.
- Braga, J. C., A., Vescogni, F., Bosellini, R., Aguirre, J (2009) Coralline algae (Corallines, Rhodophyta) in western and central Mediterranean Messinian reefs. *Palaeogeography, Palaeoclimatology, palaeoecology*, 275: 113-128.
- Braga, J. C., Bassi, D., Piller, W. E (2010) Palaeoenvironmental significance of Oligocene-Miocene coralline red algae- a review. *Sedimentology*, 42: 165-182.
- Brandano, M., and Corda, L (2002) Nutrients, sea level and tectonics: constrains for the facies architecture of a Miocene carbonate ramp in central Italy. *Terra Nova*, 14: 257-262.
- Brandano, M., Vannucci, G., Pomar, L., Obrador , A(2005) Rhodolith assemblages from the lower Tortonian carbonate ramp of Menorca (Spain): Environmental and paleoclimatic implications. *Palaeogeography, Palaeoclimatology*, 226: 307-323 .
- Brandano, M., Frezza, V., Tomassetti, L., Pedley, M (2009) Facies analysis and paleoenvironmental interpretation of the Late Oligocene Attard Member (Lower Coralline Limestone Formation), Malta. *Sedimentology*, 56: 1138-1158.
- Cahuzac, B., Poignant, A (1997) *Essai de biozonation de l'Oligo-Miocène dans les bassins européens à l'aide des grands foraminifères nérithiques*. *Bulletin de la Société Géologique de France*, 168(2): 155–169.

- insights from Miocene examples of the Mediterranean region. *Earth-Science Rev.*, 113 (3–4): 186–211.
- Pomar, L., Mateu-Vicens, G., Morsilli, M., Brandano, M (2014) Carbonate ramp evolution during the late Oligocene (chattian), Salento peninsula, southern Italy. *Palaeogeogr. Palaeoclimatol. Palaeoecol.*, 404 (0):109–132.
- Rahmani, A., Vaziri-Moghaddam, H., Taheri, A., Ghabeishavi, A (2009) A model for the palaeoenvironmental distribution of larger foraminifera of Oligocene–Miocene carbonate rocks at Khaviz Anticline, Zagros Basin, SW Iran. *Hist. Biol.*, 21 (3–4): 215–227.
- Rasser, M., W., Scheibner, C., Mutti, M (2005) A Paleoenvironmental standard section for Early Ilerdian tropical carbonate factories (Corbières, France; Pyrenees, Spain). *Facies*, 51: 217–232.
- Reichel, M (1937) Etude sur les Alveolines. *Me., Soc.Paleo. Suisse.* 57-59:1-147.
- Romero, J., Caus, E., Rosell, J (2002) A model for the palaeoenvironmental distribution of larger foraminifera based on late Middle Eocene deposits on the margin of the South Pyrenean basin (NE Spain). *Palaeogeography, Palaeoclimatology, Palaeoecology*, 179: 43–56.
- Sadeghi, R., Vaziri-Moghaddam, H., Taheri, A (2010) Microfacies and sedimentary environment of the Oligocene sequence (Asmari formation) in Fars sub-basin, Zagros Mountains, southwest Iran. *Facies*, 57 (3): 431–446.
- Samankassou, E (2002) Cool-water carbonates in a paleoequatorial shallow water environment: The paradox of the Auernig cyclic sediments (Upper Pennsylvanian, Carnic Alps, Austria-Italy) and its implications. *GEOLOGY*, 30: 655–658.
- Schlumberger, C (1893) Note sur les genres Trillina et Linderina. *Bull.Geo.Soc.France. ser 3*, 21: 118-123.
- Sepehr, M., Cosgrove, JW (2004) Structural framework of the Zagros fold thrust belt, Iran. *Mar Petrol Geol.*, 21: 829–843.
- Seyrafian, A., Vaziri-Moghaddam, H., Arzani, N., Taheri, A (2011) Facies analysis of the Asmari Formation in central and north-central Zagros basin, southwest Iran. Biostratigraphy, paleoecology and diagenesis. *Rev. Mex. ciencias Geol.*, 28: 439–458.
- Sherkati, S., Letouzey, J (2004) Variation of structural style and basin evolution in the central Zagros (Izeh zone and Dezful Embayment) Iran. *Mar Petrol Geol.*, 21: 535–554.
- Smout, A. H (1963) *Pseudoedomia and its phyletic relationships. In Evolutionary trends in Foraminifera*. Elsevier, 224-271
- Isfahan, Iran. *Australian Journal of Basic and Applied Sciences*, 9(33): 467-480.
- Haynes, J (1987) *Foraminifera*. Blackwell Scientific Publication, 433p.
- Henson, F. R. S (1937) Larger Foraminifera from Anatab, Turkish Syra. *Ecologae. Geol. Helv. Suisse*30.
- Heydari, E (2008) Tectonics versus eustatic control on supersequences of the Zagros Mountains of Iran. *Tectonophysics*, 451: 56-70.
- Hottinger, L (1997) Shallow benthic foraminiferal assemblages as signals for depth of their deposition and their limitations. *Bulletin de la Société Géologique de France*, 168(4): 491–505.
- Laursen, G. V., Monibi, S., Allan, T. L., Pickard, N. A. H., Hosseiney, A., Vincent, B., Hamon, Y., Buchem, F. S. P. v., Modllemi, A., Druillont, G (2009) In: *The Asmari Formation Revisited: Changed Stratigraphic Allocation and New Biozonation, First International Petroleum Conference & Exhibition, Shiraz, Iran*.
- Lemoine, P (1917) Structure anatomique des Melobesées. Application à la classification. *Ann Inst.Oceanogr.Monaco*, 2: 1-213.
- Loeblich, A. R., Tappan, H., (1988) *Foraminiferal genera and their classification*, Van Nostrand Reinhold Company, New York, 2volumes.
- Mosadegh, Z. K., Haig, D. W., Allan, T., Adabi, M. H., Sadeghi, A (2009) Salinity changes during Late Oligocene to Early Miocene Asmari Formation deposition, Zagros Mountains, Iran. *Palaeogeography, Palaeoclimatology, Palaeoecology*, 272: 17-36,
- Mude, S.N., Kundal, P (2011) *Subterraniophyllum thomasii Elliott, Fossil Calcareous Alga the Evolutionary Link between Geniculate and Nongeniculate Coralline Algae: A Hypothesis*. *Scientific Research*, 1: 51-55.
- Murray, J. w (2006) *Ecology and application Of Benthic foraminifera*. Cambridge University Press, Cambridge, 426p.
- Mutti, M., Hallock, P (2003) Carbonate systems along nutrient and temperature gradients: some sedimentological and geochemical constraint. *Int J Earth Sci.*, 92: 465–475.
- Pomar, L (2001) Ecological control of sedimentary accommodation: evolution from a carbonate ramp to rimmed shelf, Upper Miocene, Balearic Islands. *Palaeogeography, Palaeoclimatology, Palaeoecology*, 175: 249–272.
- Pomar, L., Brandano, M., Westphal, H (2004) Environmental in fluencing skeletal grain sediment associations: a critical review of Miocene examples from the western Mediterranean. *Sedimentology*, 51: 627-651.
- Pomar, L., Bassant, P., Brandano, M., Ruchonnet, C., Janson, X (2012) Impact of carbonate producing biota on platform architecture:

- analysis and sequence stratigraphy of the Asmari Formation in the northern area of Dezful Embayment, south-west Iran. *Studia UBB Geologia*, 58 (1): 45 – 56.
- Zabihi Zoeram, F., Vahidinia, M., Sadeghi, A., Mahboubi, A., Amiri Bakhtiar, H (2014) Palaeoenvironmental reconstruction based on coralline red algal and foraminifera assemblages in Oligo-Miocene succession of NW central Zagros, Iran. *Revue de Paléobiologie, Genève*, 33 (2): 583-591.
- Zamagni, J., Mutti, M., Konir, A (2008) Evolution of shallow benthic communities during the Late Paleocene-earliest Eocene transition in the Northern Tethys (SW Slovenia). *Facies*, 54: 25–43.
- Taheri, M. R., Vaziri-Moghaddam, H., Taheri, A., Ghabeishavi, A (2017) Biostratigraphy and paleoecology of the oligo-miocene Asmari formation in the Izeh zone (Zagros Basin, SW Iran). *Bol. Soc. Geol. Mex*, 69 (1): 59–85.
- Testa, V., Bosence, DW (1999) Physical and biological controls on the formation of carbonate and siliciclastic bed forms on the northeast Brazilian shelf. *Sedimentology*, 46: 279–301.
- Thomas, A. N (1950) The Asmari limestone of southwest Iran. in: 18th International Geological Congress, London, pt. 6: 35-34.
- van Buchem, F. S. P., Allan, T. L., Laursen, G. V., Lotfspour, M., Moallemi, A., Monibi, S., Motiei, H., Pickard, N. A. H., Tahmasbi, A. R., Vedrenne, V., and Vincent, B (2010) Regional stratigraphic architecture and reservoir types of the Oligo-Miocene deposits in the Dezful Embayment (Asmari and Pabdeh Formations) SW Iran. *Geological Society, London, Special Publications*, 329: 219-263.
- Vannucci, G., Testa, M., Piazza, M., Pastorina, P (2010) Subterraniophyllum and free-living Neogoniolithon (coralline algae) from the Oligocene reef facies of Costa d'Orada. *Ital.J.Geosci*, 129: 4-14.
- Vaziri-Moghaddam, H., Kimiagari, M., Taheri, A (2006) Depositional environment and sequence stratigraphy of the Oligocene-Miocene Asmari Formation in SW Iran, Lali Area. *Facies*, 52: 41-51.
- Vaziri-Moghaddam, H., Seyrafian, A., Taheri, A., Motiei, H (2010) Oligocene-Miocene ramp system (Asmari Formation) in the NW of the Zagros Basin, Iran: Microfacies, paleoenvironment and depositional sequence. *Revista Mexicana de Ciencias Geológicas*, 27(1): 56-71.
- Vaziri-Moghaddam, H., Kalanat, B., Taheri, A (2011) Sequence stratigraphy and depositional environment of the Oligocene deposits at Firozabad section, southwest of Iran based on microfacies analysis. *Geopersia*, 1(1): 71-82.
- Wilson, J. L (1975) Carbonate facies in geological history: New York, Springer, 471 p.
- Wilson, M. E. J., Vecsei, A (2005) The apparent paradox of abundant foramol facies in low latitudes: their environmental significance and effect on platform development. *Earth-Science Reviews*, 69: 133-168.
- Woelkerling, W. J (1988) The Coralline Red Alage: An Analysis of the Genera and subfamilies of the nongeniculate Corallinaceae. Oxford University Press, 268p.
- Wynd, J. G (1965) Biofacies of the Iranian oil consortium agreement area. IOOC Report, no, 1082, un published.
- Zabihi Zoeram, F., Vahidinia, M., Sadeghi, A., Mahboubi, A., Amiri Bakhtiar, H (2013) Facies